

Notas de Aula

A Física dos Detectores de Partículas

Dr Arthur M. Moraes - CBPF

(web-page: <http://cern.ch/amoraes>)

18 de Julho de 2017

Notas de Aula: onde encontra-las?

<https://amoraes.web.cern.ch/amoraes/escola-cbpf-2017/>

Introdução

Programa do Curso:

Aula 1: De Rutherford ao LHC: Desenvolvimento dos detectores ao longo da história da física das partículas elementares. (2^af. 17/07)

Aula 2: Interações das partículas com a matéria. (3^af. 18/07)

Aula 3: Detectando partículas carregadas & neutras. (5^af. 20/07)

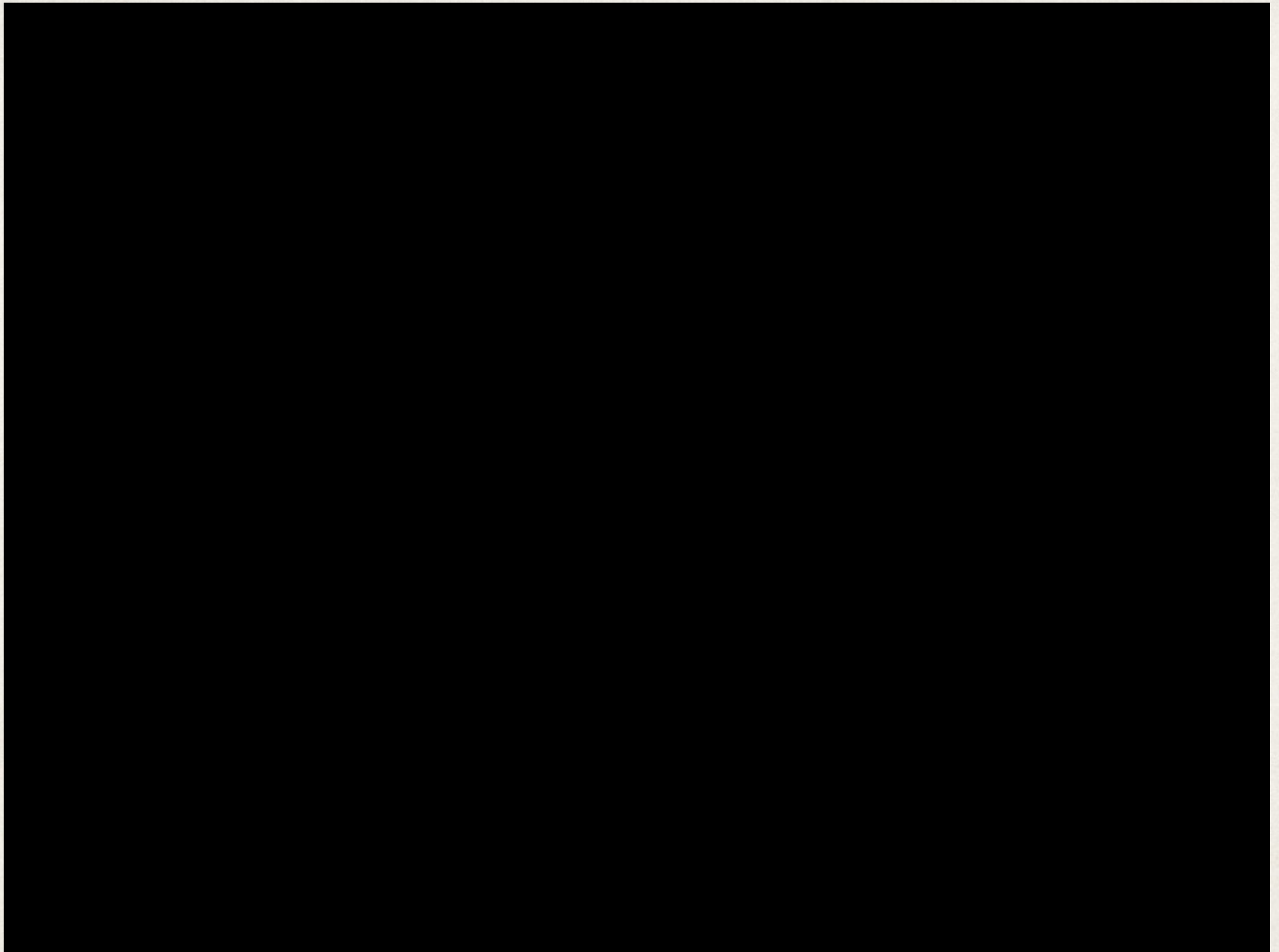
Aula 4: Cintiladores: detectando partículas via luminescência. (6^af. 21/07)

Aula 5: Detectores de semicondutores: medidas de alta precisão. (2^af. 24/07)

Aula 6: Detectores de gás: medindo partículas em grandes volumes. (3^af. 25/07)

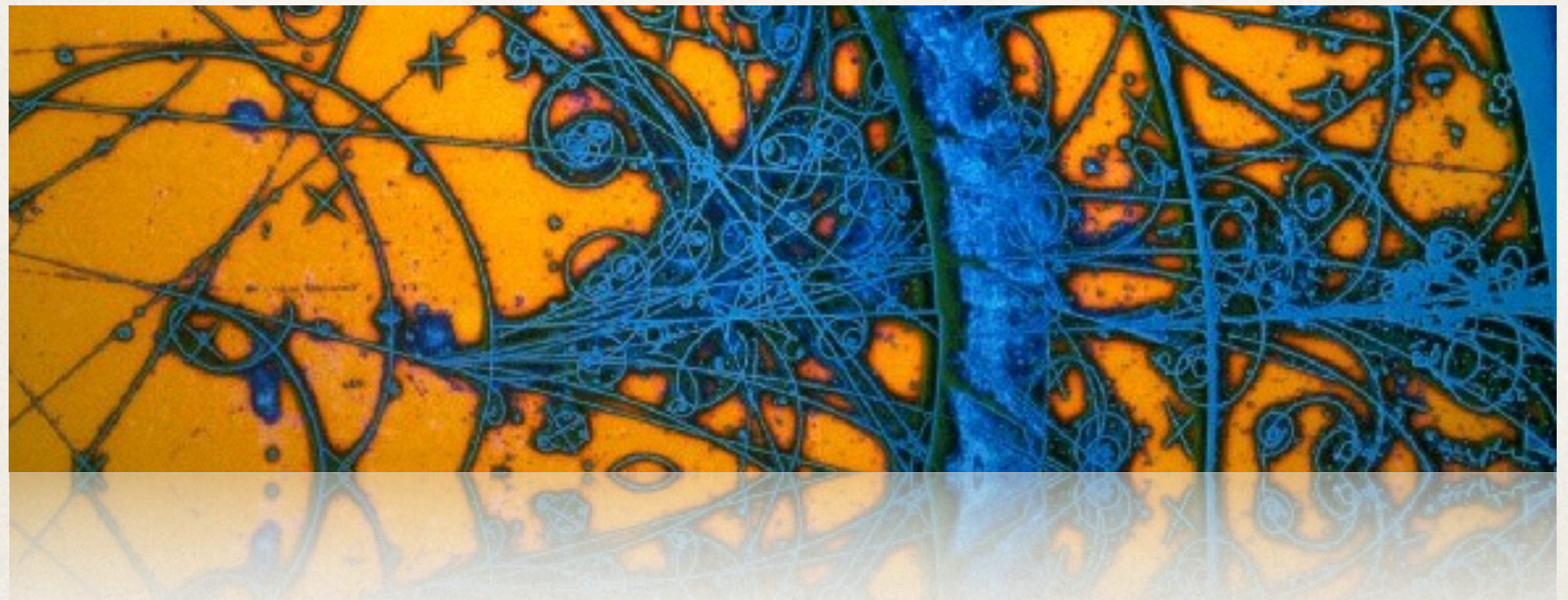
Aula 7: Calorímetros: eletromagnéticos & hadrônicos. (5^af. 27/07)

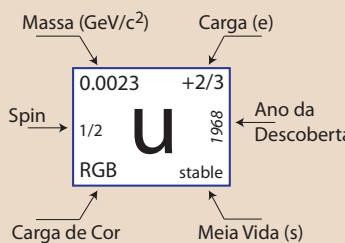
Aula 8: Exemplos de aplicações dos detectores em várias áreas. (6^af. 28/07)



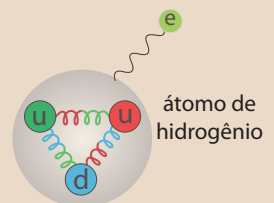
Aula 2

Interações das partículas com a matéria



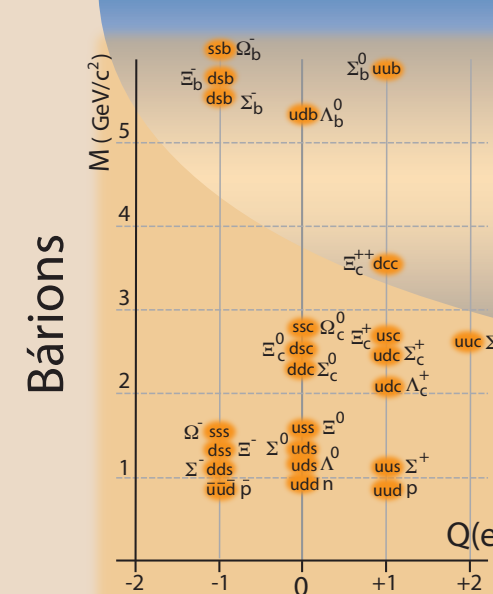


Elementos Fundamentais da Matéria

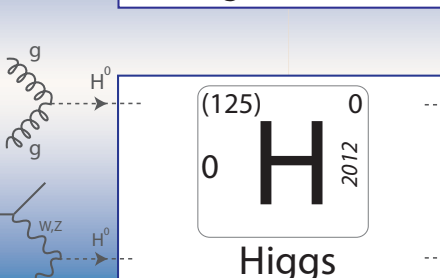
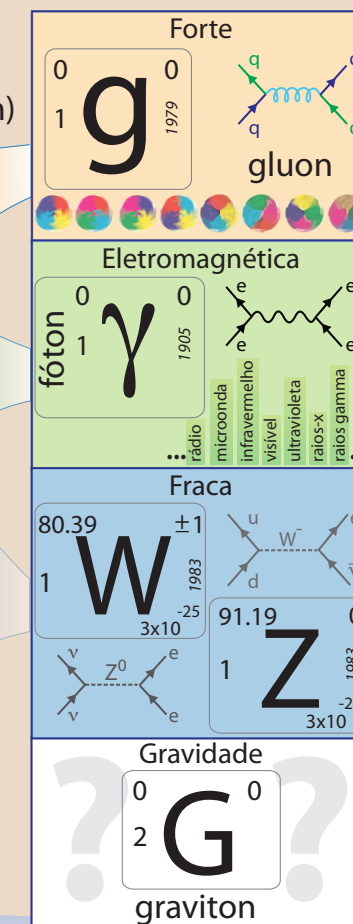


Matéria

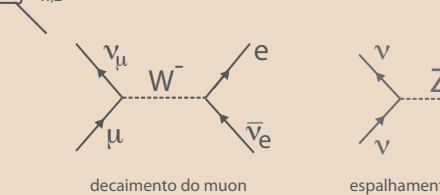
Quarks	0.0023	+2/3	1.275	+2/3	173.5	+2/3
	1/2	u	1968	1/2	C	1974
	RGB	estável		RGB	1.1×10^{-12}	
	0.0048	-1/3	0.095	-1/3	4.18	-1/3
Leptons	1/2	d	1968	1/2	s	1968
	RGB	900		RGB	1.2×10^{-8}	
	0.000511	-1	0.106	-1	1.977	-1
	1/2	e	1897	1/2	μ	1936
Leptons	estável				2.2×10^{-6}	
	<2x10 ⁻⁹	0	<0.00019	0	<0.0182	0
	1/2	ν_e	1956	1/2	ν_μ	1962
	estável			estável		
Leptons	1/2	ν_τ	2000	1/2	ν_τ	estável
	estável			estável		



Bósons de Calibre

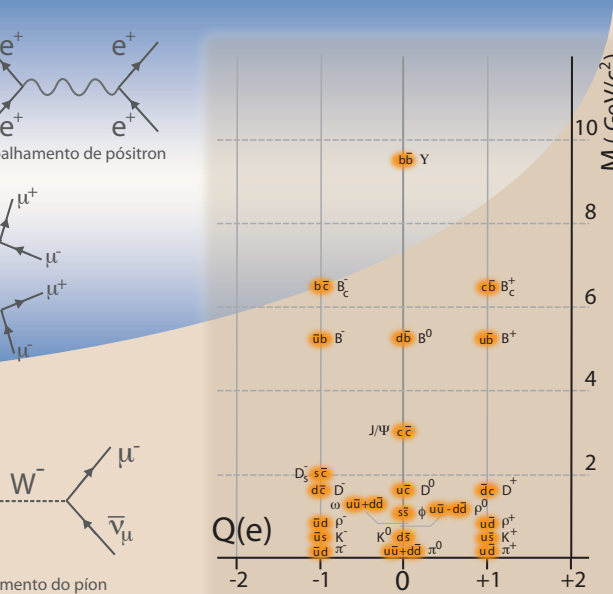


33



Antimatéria

I	II	III
0.0023 1/2 CMY -2/3 U 1968 estável	1.275 1/2 CMY -2/3 C 1.1x10 ⁻¹² 1974	173.5 1/2 CMY -2/3 t̄ 5x10 ⁻²⁵ 1995
0.0048 1/2 CMY -2/3 d̄ 1968 900	0.095 1/2 CMY -2/3 S̄ 1.2x10 ⁻⁸ 1968	4.18 1/2 CMY -2/3 b̄ 1.3x10 ⁻¹² 1976
0.000511 1/2 estável e⁺ 1932	0.106 1/2 CMY -2/3 μ⁺ 2.2x10 ⁻⁶ 1936	1.977 1/2 CMY -2/3 τ̄ 2.9x10 ⁻¹³ 1977
<2x10 ⁻⁹ 1/2 estável V_e 1956	<0.00019 1/2 CMY -2/3 V_μ 1962 estável	<0.0182 1/2 CMY -2/3 V_τ 2000 estável



Antiléptons Antiquarks



Princípio para detecção de partículas

Para se detectar uma partícula:

- ela deve interagir com a matéria
- ela deve transferir energia de modo que seja reconhecível

ou seja

a detecção de partículas ocorre através da perda de energia das partículas ao atravessarem o material

Possibilidades:

Partículas carregadas

Ionização, Bremsstrahlung, Cherenkov ...

Hádrons

Interações nucleares

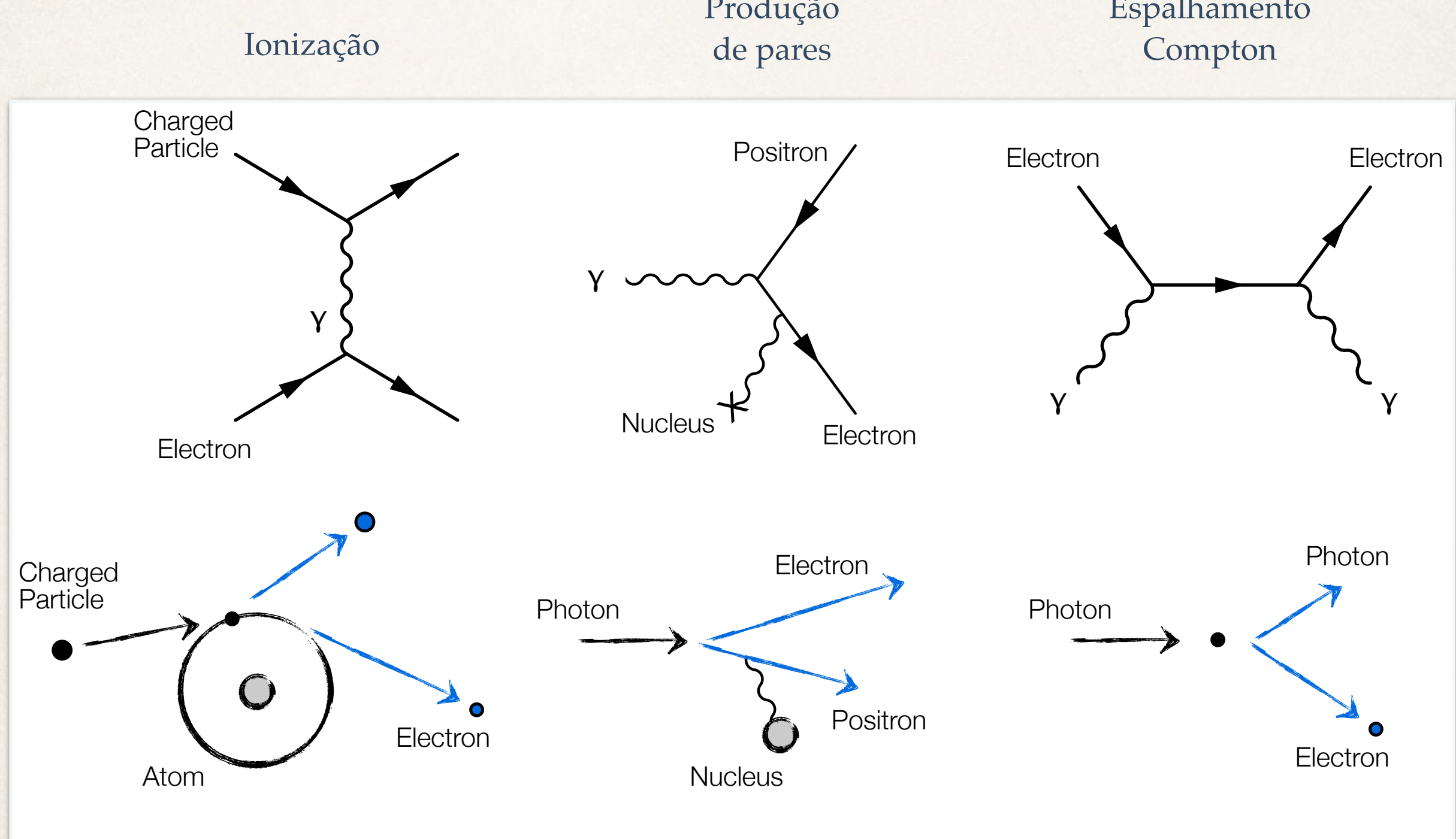
Fótons

Efeito Compton, produção de pares

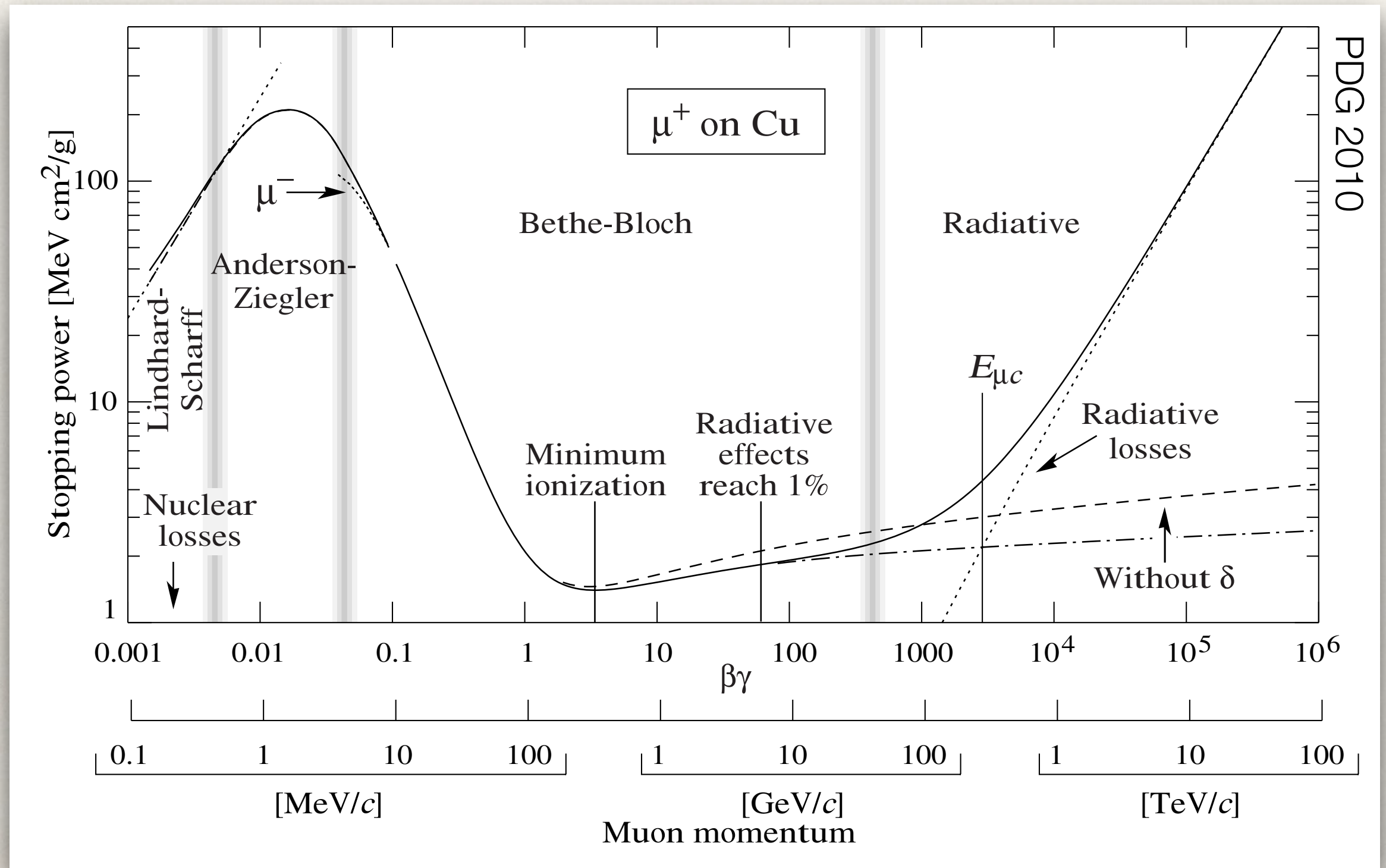
Neutrinos

Interações fracas

Interações de partículas - exemplos



Perda de energia - Gráfico para Múons



Perda de energia por Ionização - dE/dx

Vamos assumir: $Mc^2 \gg m_e c^2$

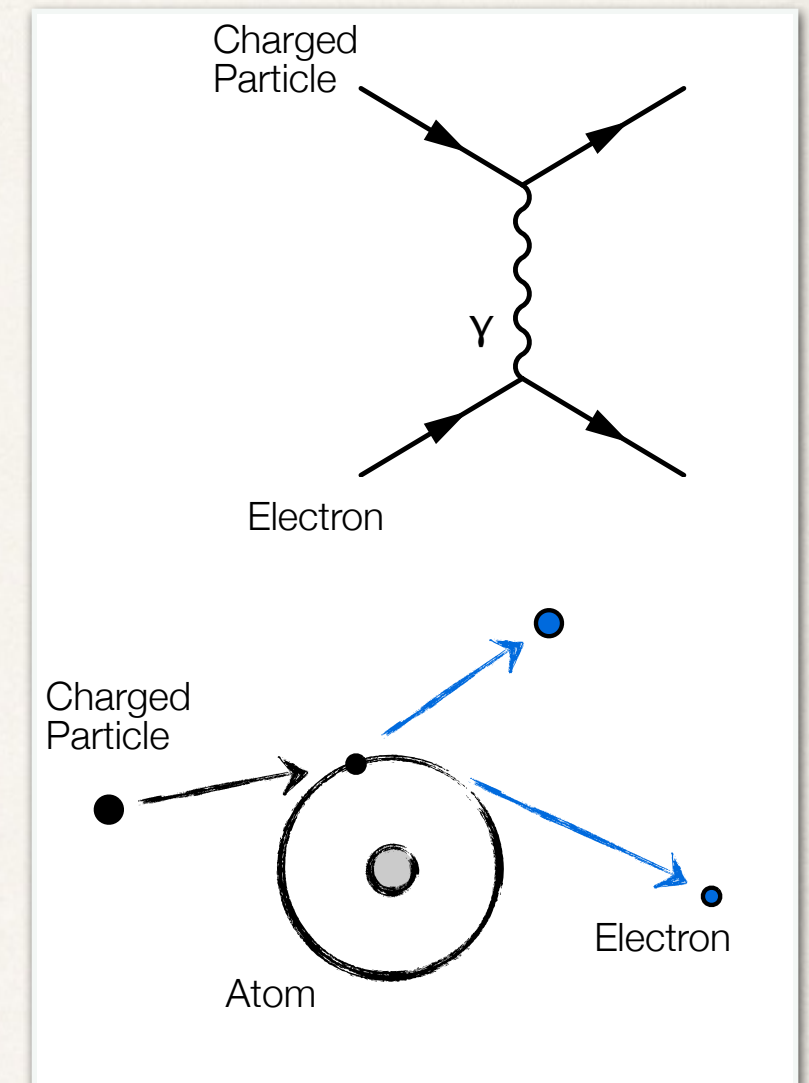
i.e. perda de energia por partículas “pesadas”
 (dE/dx para elétrons é mais “complicado”...)

Interação dominada por colisões elásticas com elétrons

Equação Bethe-Bloch

$$-\left\langle \frac{dE}{dx} \right\rangle = K z^2 \frac{Z}{A} \frac{1}{\beta^2} \left[\frac{1}{2} \ln \frac{2m_e c^2 \beta^2 \gamma^2 T_{\max}}{I^2} - \beta^2 - \frac{\delta(\beta\gamma)}{2} \right]$$

$$\propto 1/\beta^2 \cdot \ln(\text{const} \cdot \beta^2 \gamma^2)$$



Equação Bethe-Bloch

[see e.g. PDG 2010]

$$-\left\langle \frac{dE}{dx} \right\rangle = K z^2 \frac{Z}{A} \frac{1}{\beta^2} \left[\frac{1}{2} \ln \frac{2m_e c^2 \beta^2 \gamma^2 T_{\max}}{I^2} - \beta^2 - \frac{\delta(\beta\gamma)}{2} \right]$$

$[\cdot \rho]$

density

$$K = 4\pi N_A r_e^2 m_e c^2 = 0.307 \text{ MeV g}^{-1} \text{ cm}^2$$

$$N_A = 6.022 \cdot 10^{23}$$

$$T_{\max} = 2m_e c^2 \beta^2 \gamma^2 / (1 + 2\gamma m_e/M + (m_e/M)^2)$$

[Max. energy transfer in single collision]

[Avogardo's number]

$$r_e = e^2 / 4\pi \epsilon_0 m_e c^2 = 2.8 \text{ fm}$$

[Classical electron radius]

z : Charge of incident particle

$$m_e = 511 \text{ keV}$$

[Electron mass]

M : Mass of incident particle

$$\beta = v/c$$

[Velocity]

Z : Charge number of medium

$$\gamma = (1 - \beta^2)^{-1/2}$$

[Lorentz factor]

A : Atomic mass of medium

Validity:

I : Mean excitation energy of medium

$$0.05 < \beta\gamma < 500$$

δ : Density correction [transv. extension of electric field]

Perda de energia de píons em Cu

- Partículas de ionização mínima (MIP): $\beta\gamma = 3-4$

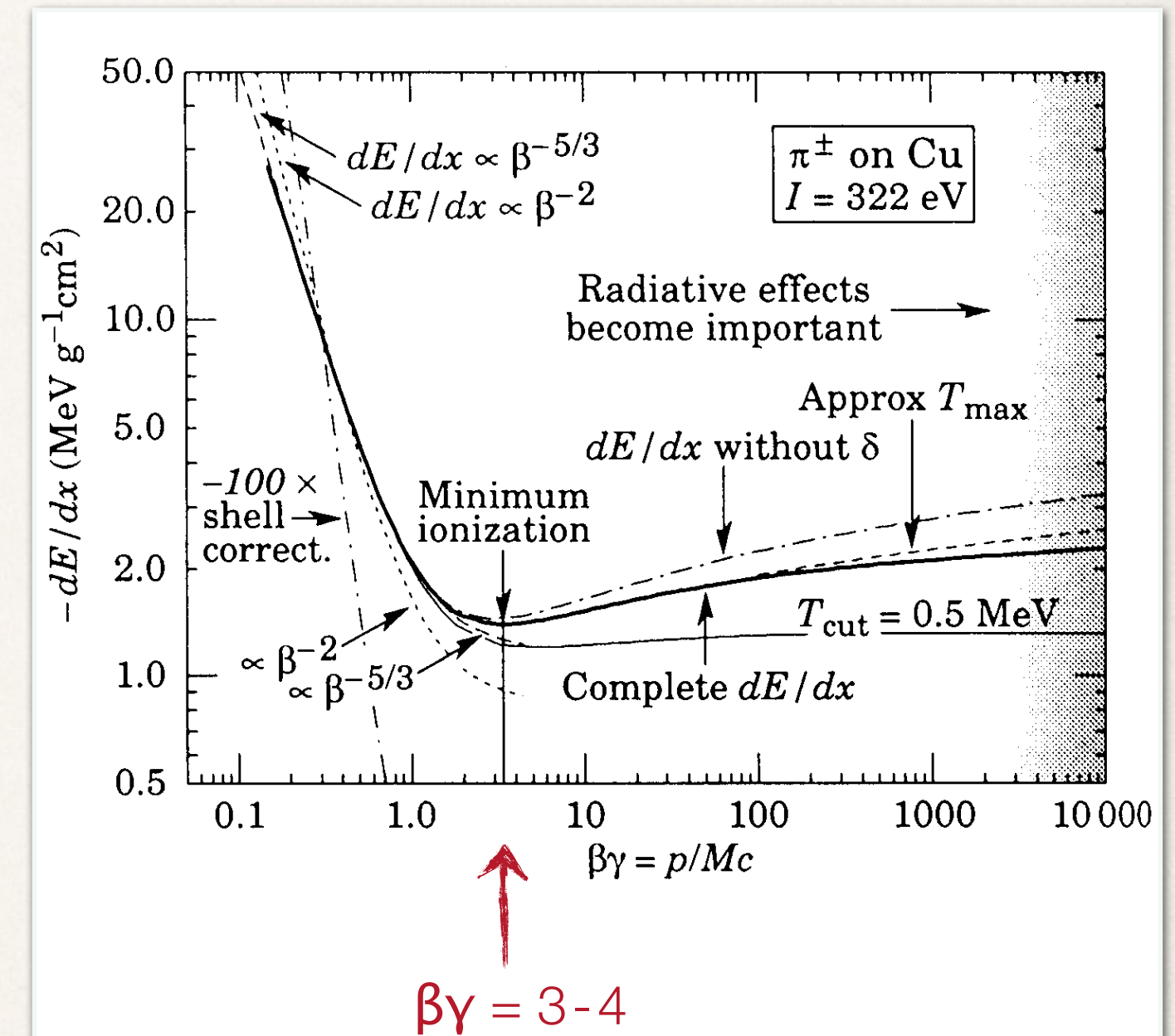
- dE/dx decresce $\sim \beta^{-2}$ - fator cinemático (dependência $\sim \beta^{-5/3}$)

- dE/dx cresce $\sim \ln(\beta\gamma)^2$ - fator relativístico (extensão da componente transversal do campo E)

- Saturação para altos valores de $(\beta\gamma)$ - efeito da densidade (correção δ) (polarização do meio)

Unidades: $\text{MeV g}^{-1}\text{cm}^2$

Perda MIP $\sim 13 \text{ MeV/cm}$



Um pouco mais sobre a Equação de Bethe-Bloch

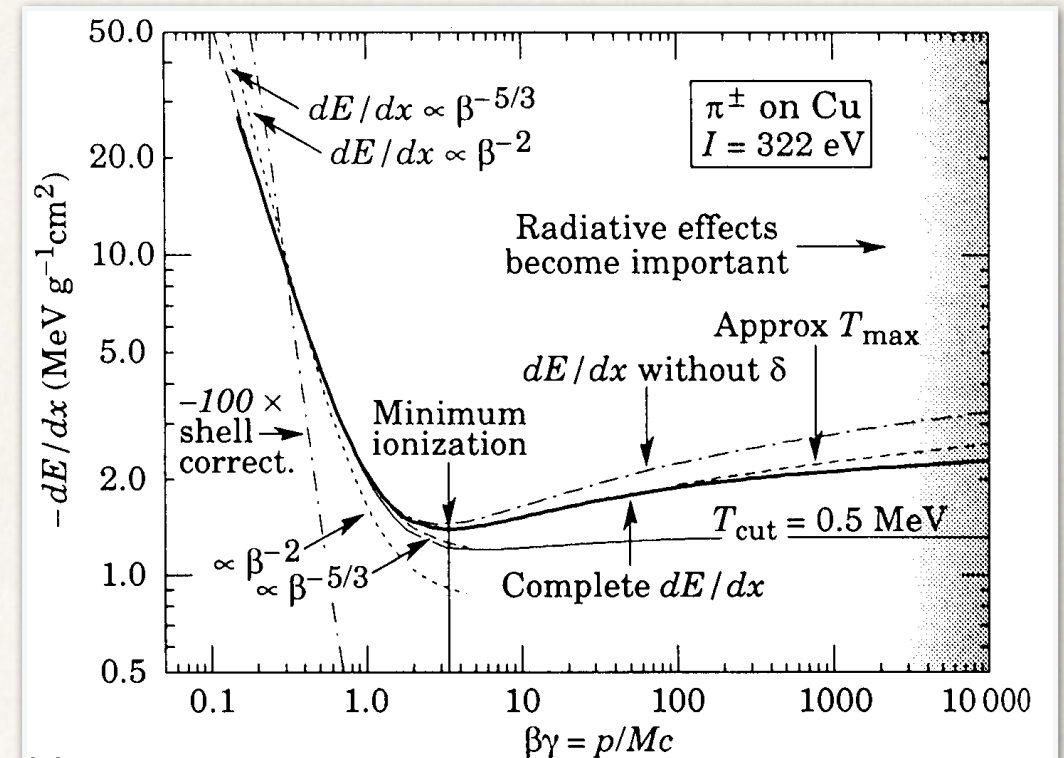
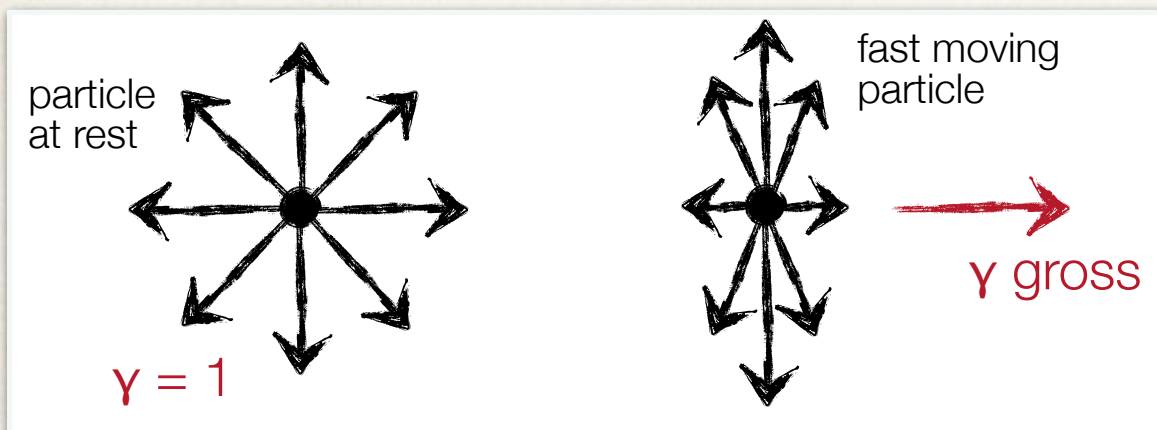
Dependência $1/\beta^2$

Partículas que movem mais lentamente pelo meio “sentem” a força elétrica dos elétron atômicos por mais tempo

$$\Delta p_{\perp} = \int F_{\perp} dt = \int F_{\perp} \frac{dx}{v}$$

Aumento relativístico para $\beta\gamma > 4$

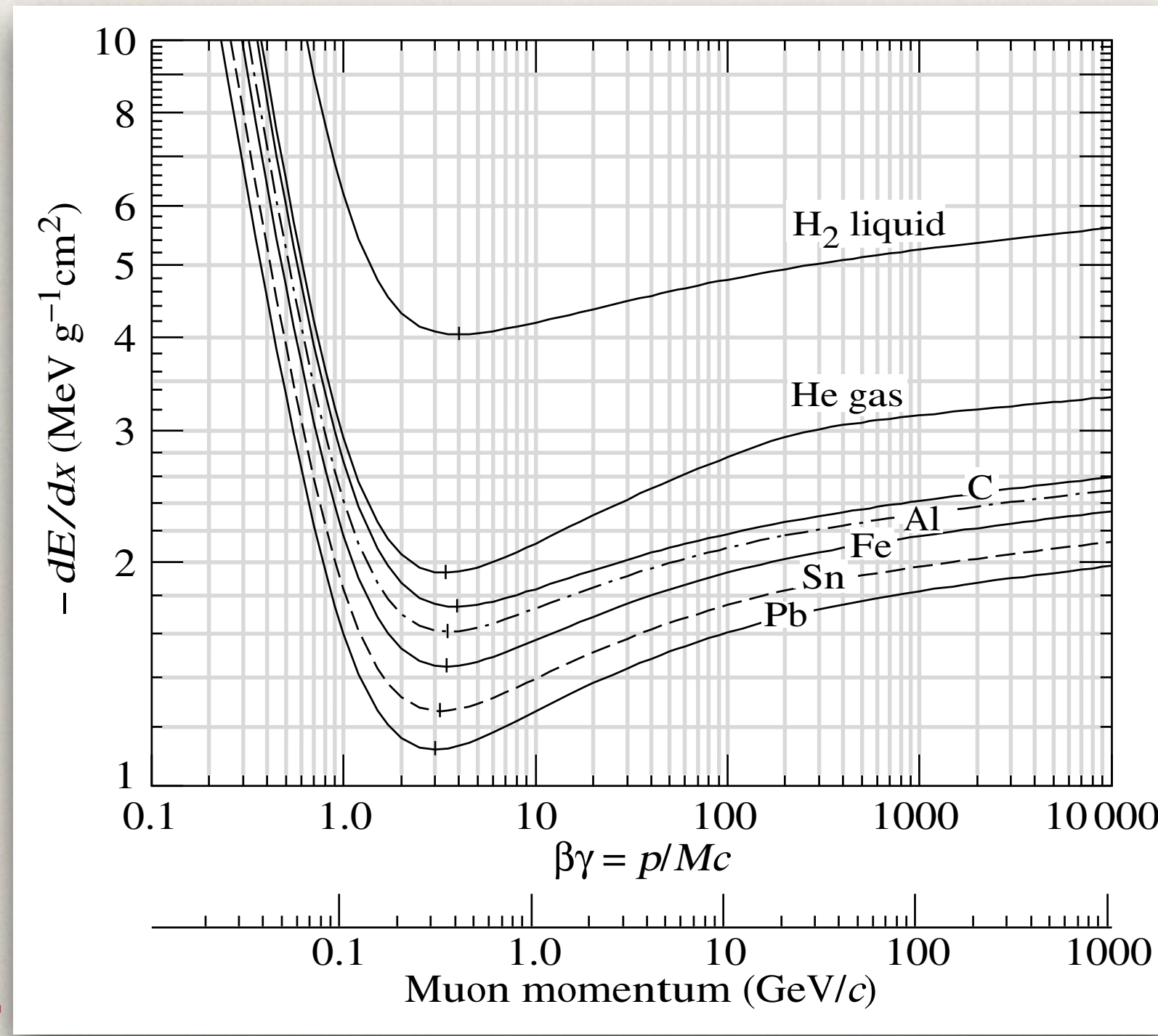
Partícula de alta-energia: componente transversa do campo elétrico aumenta devido transformação de Lorentz: $E_y \rightarrow \gamma E_y$. Assim, seção de choque das interações aumenta.



Correções:

- baixa energia: correções para efeitos de camada eletrônica (velocidade da partícula próxima da velocidade orbital - possível captura de elétron)
- alta energia: correções para efeitos de densidade (polarização). Leva a saturação em altas energias.

Perda de energia - partículas carregadas



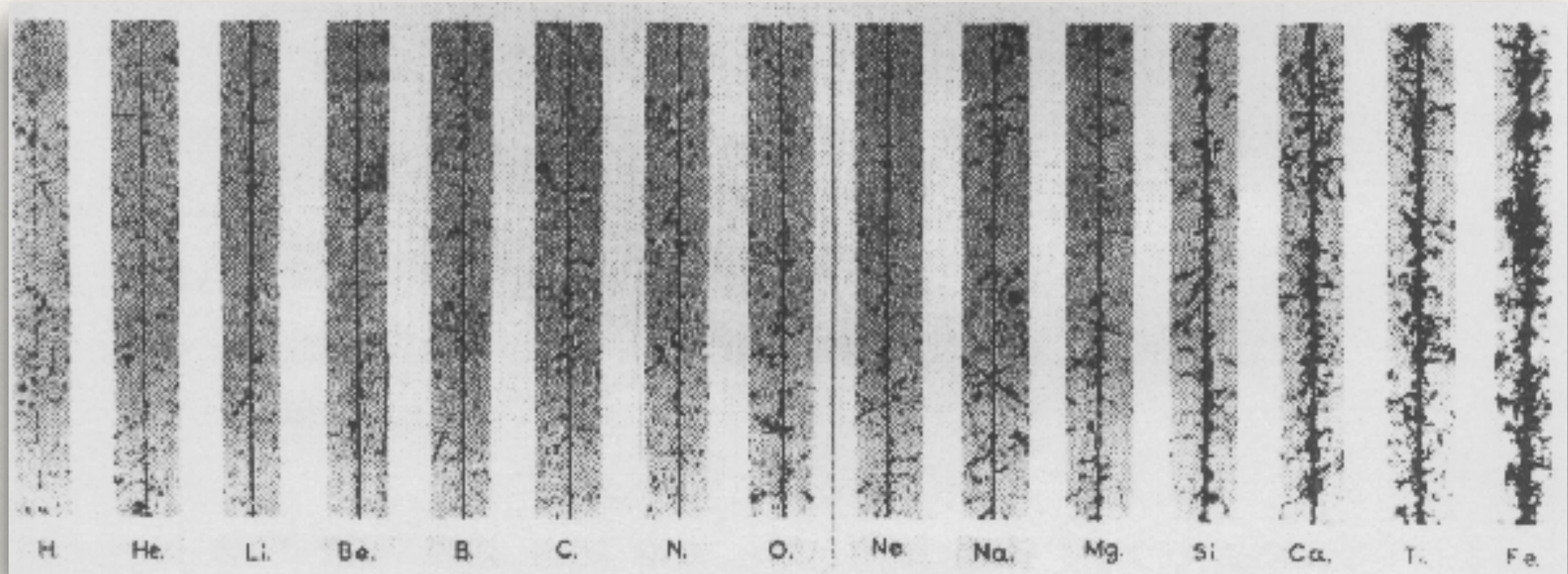
Depende de:

Massa Atômica (A)

Número Atômico (Z)

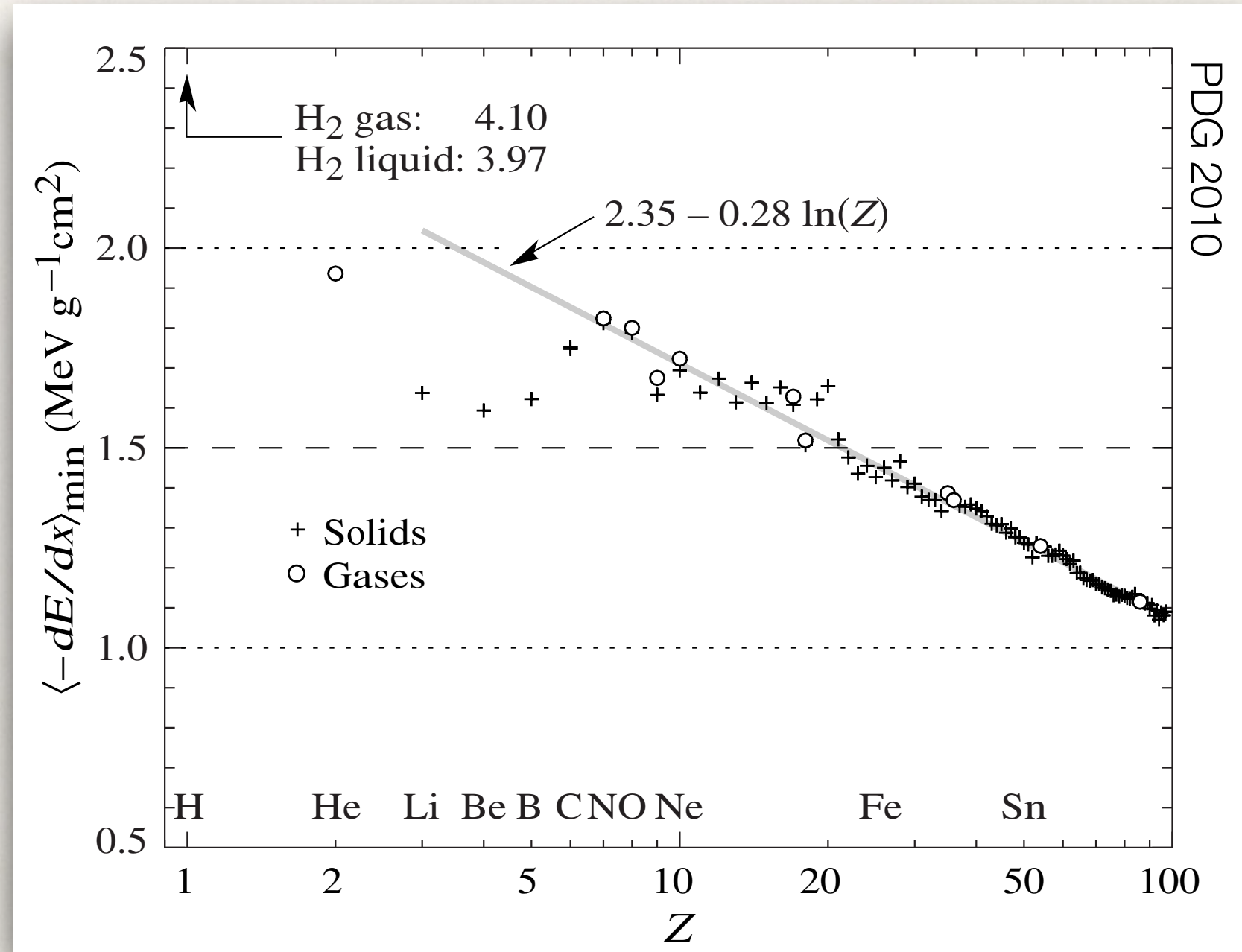
dos núcleos do meio onde
as partículas incidem

Perda de energia - partículas de baixa energia



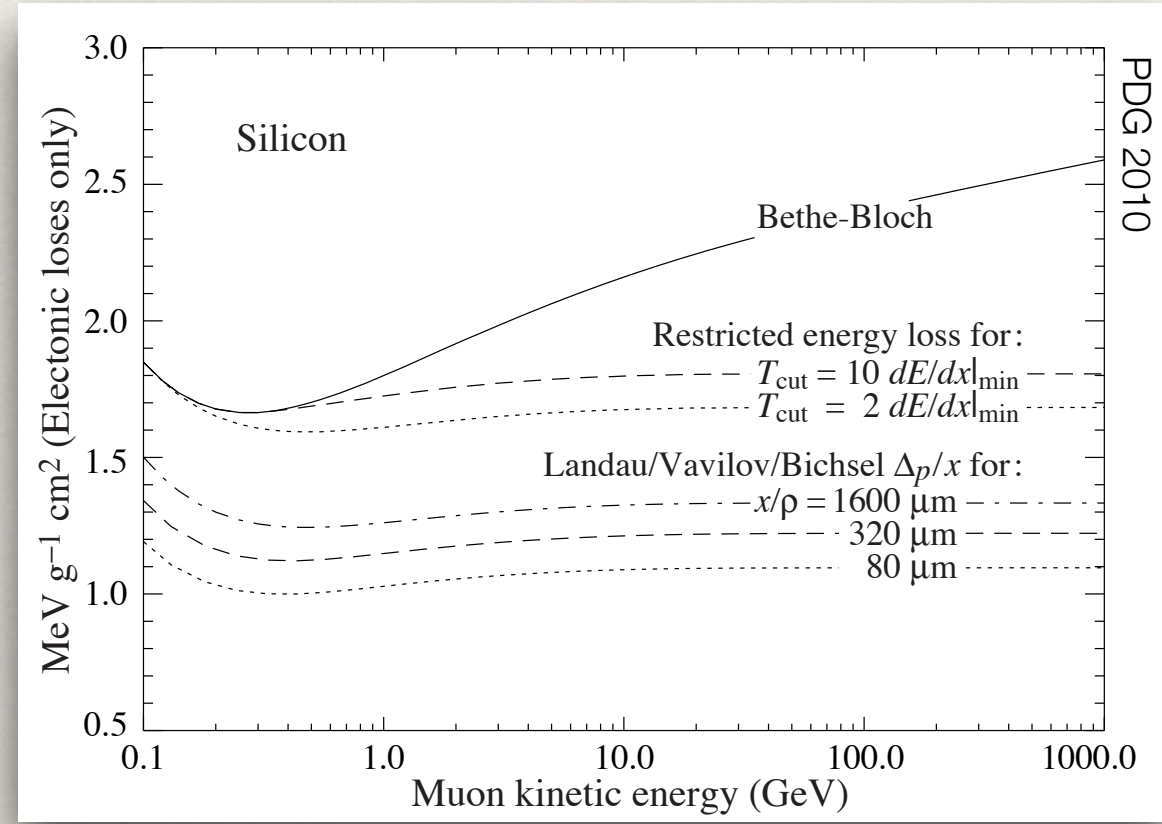
Raios cósmicos: $dE/dx \propto Z^2$

Poder de parada no ponto de ionização mínima



Poder de parada no ponto de ionização mínima para vários elementos químicos. O fit da reta assume $Z > 6$. Uma função linear em Z não é esperada tendo em vista que há dependência de outras variáveis.

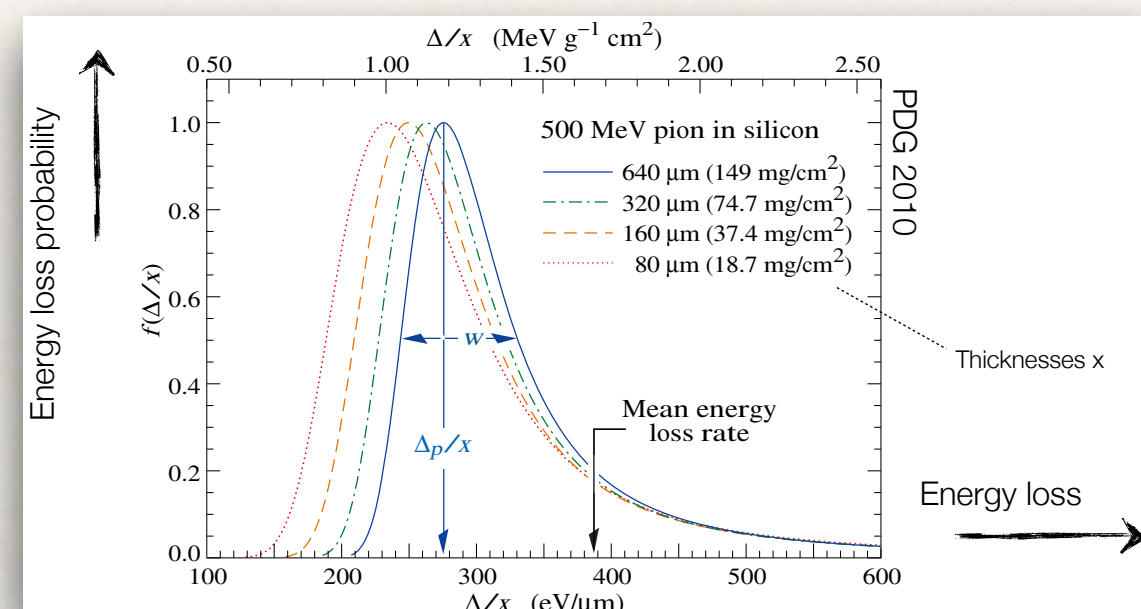
Espessura do absorvente



Equação de Bethe-Bloch descreve o valor médio da perda de energia

Quando uma partícula carregada atravessa um material de espessura x , a distribuição de energia de δ -elétrons e as flutuações de seu número produzem flutuações na perda de energia ΔE

A perda de energia em uma camada de material segue uma distribuição de Landau



alguns números...

Ionização mínima: $1 - 2 \text{ MeV/g cm}^{-2}$

exemplo 1: material com $\rho = 1 \text{ g/cm}^3$

$$dE/dx = 1 - 2 \text{ MeV/cm}$$

exemplo 2: ferro com espessura de 100 cm

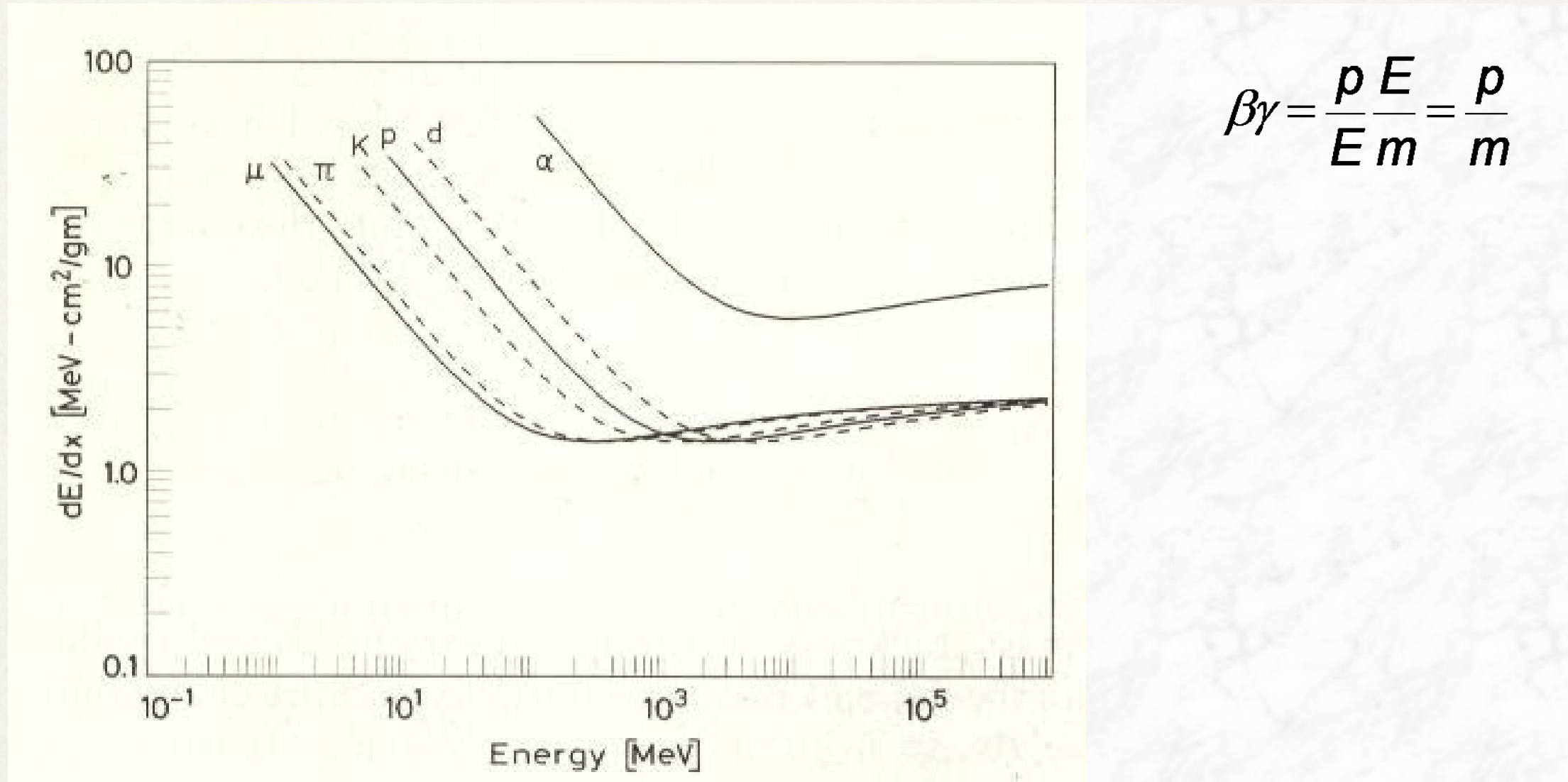
$$\rho = 7,87 \text{ g/cm}^3$$

$$\text{MIP: } 1,4 \text{ MeV/g cm}^{-2}$$

$$dE \approx 1,4 \text{ MeV g}^{-1} \text{ cm}^2 * 100\text{cm} * 7,87 \text{ g cm}^{-3} = 1102 \text{ MeV}$$

Múon de 1 GeV pode atravessar um bloco de 1m de Fe

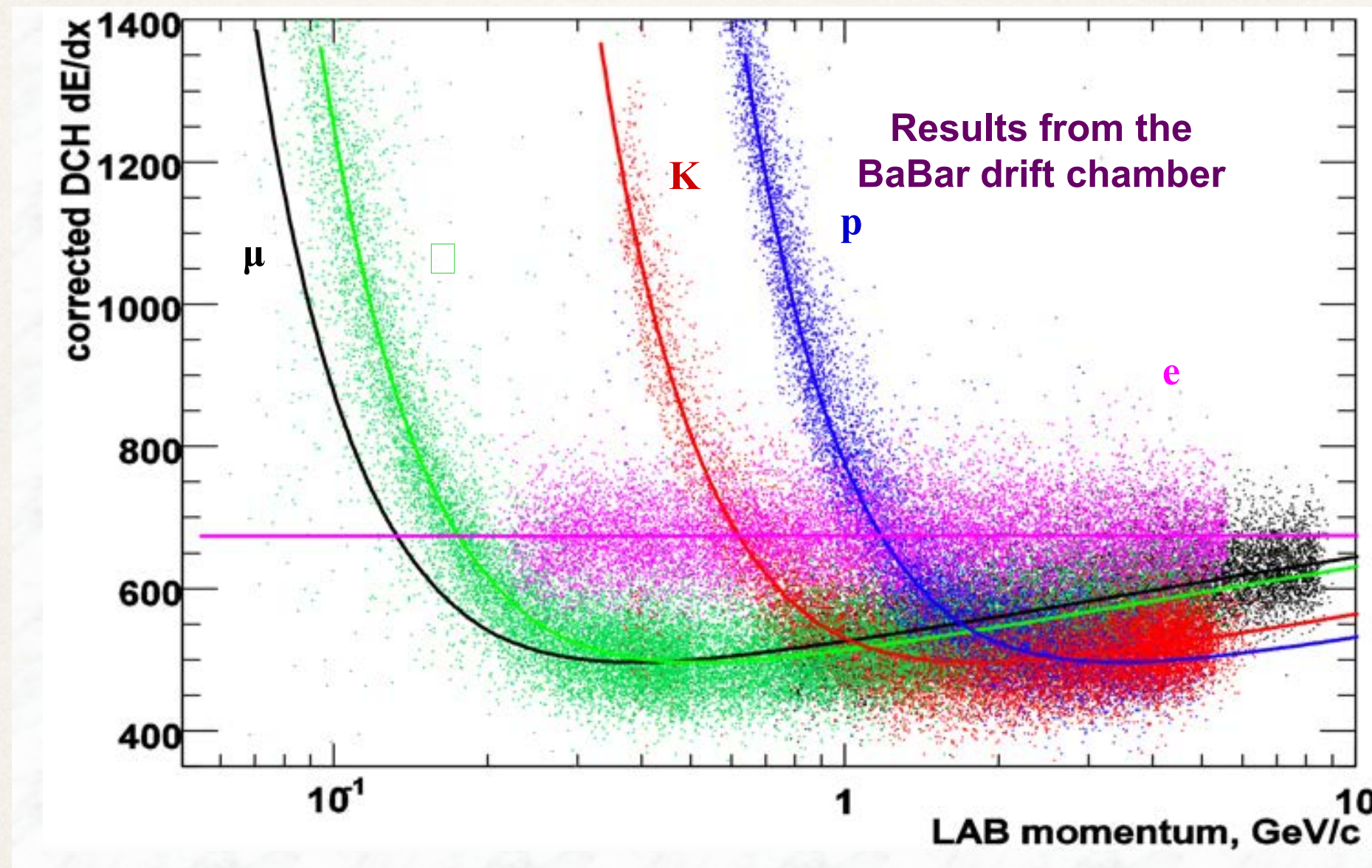
dE/dx e identificação de partículas



Perda de energia depende do momento das partículas $p=mc\beta\gamma$ que **depende da massa** da partícula

Medindo-se o momento das partículas e a perda de energia, deduz-se a massa da partícula e pode-se fazer a identificação das partículas.

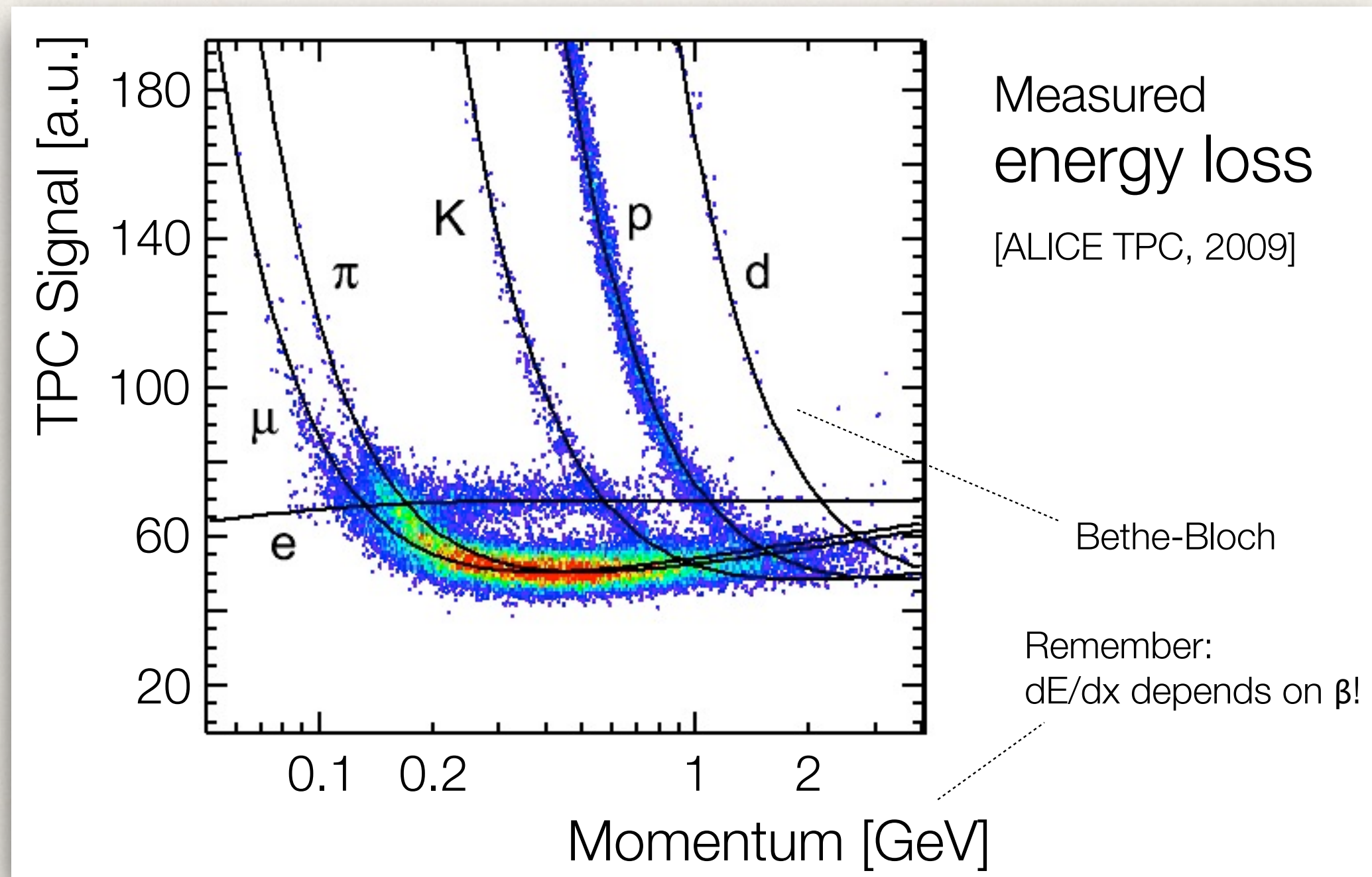
dE/dx e identificação de partículas



Perda de energia depende do momento das partículas $p=mc\beta\gamma$ que **depende da massa** da partícula

Medindo-se o momento das partículas e a perda de energia, deduz-se a massa da partícula e pode-se fazer a identificação das partículas.

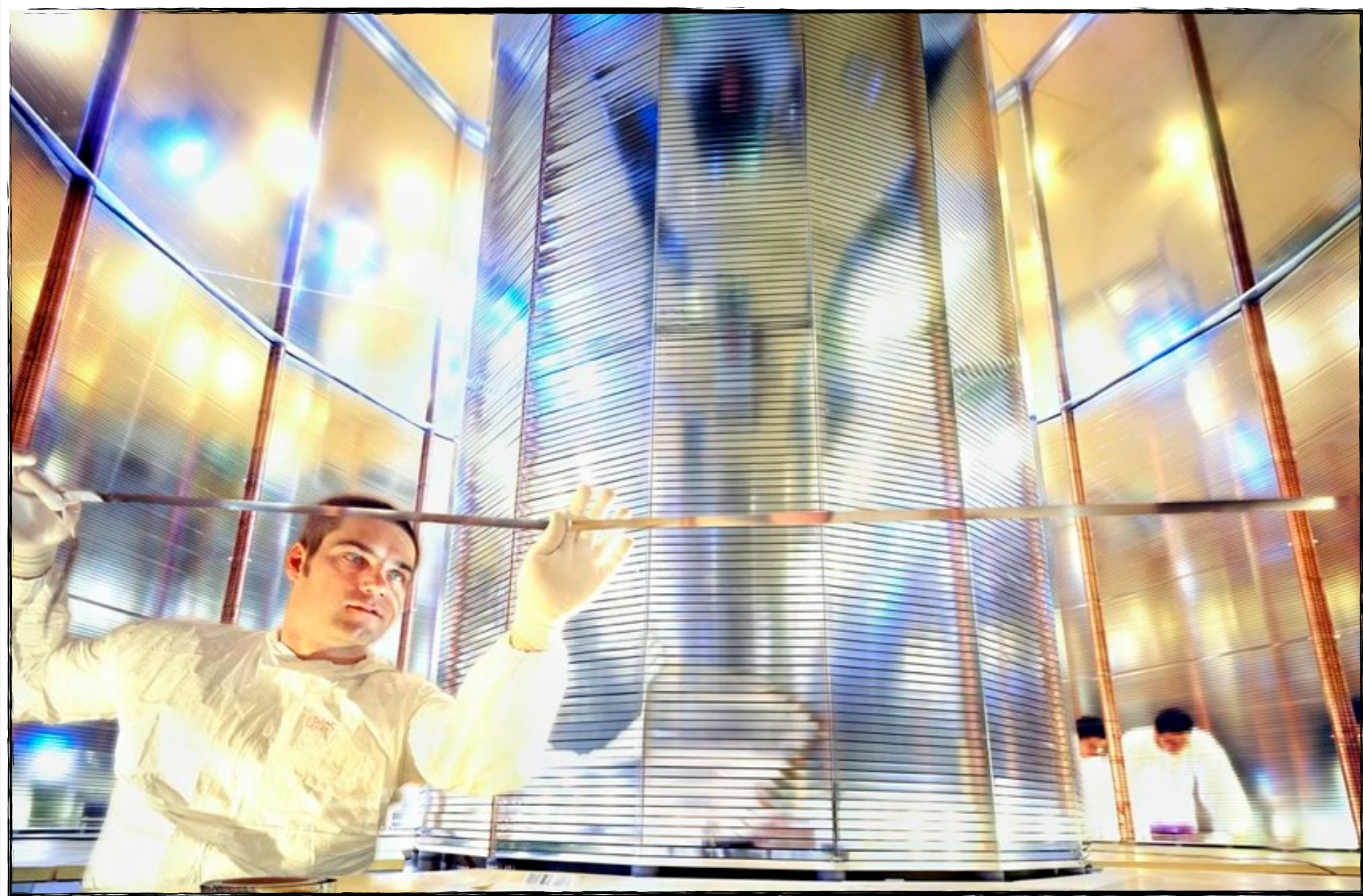
dE/dx e identificação de partículas



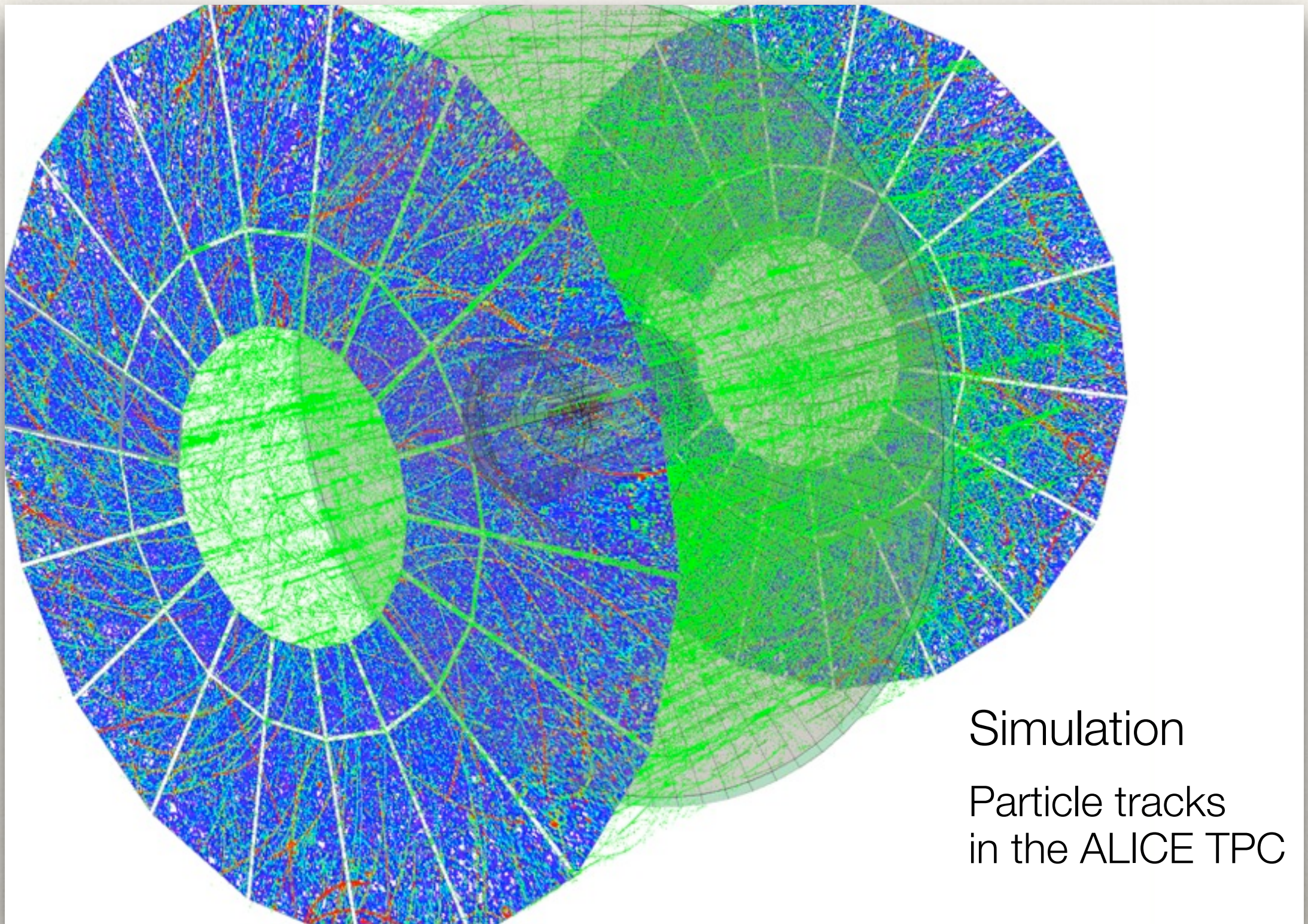
Perda de energia depende do momento das partículas $p=mc\beta\gamma$ que **depende da massa** da partícula

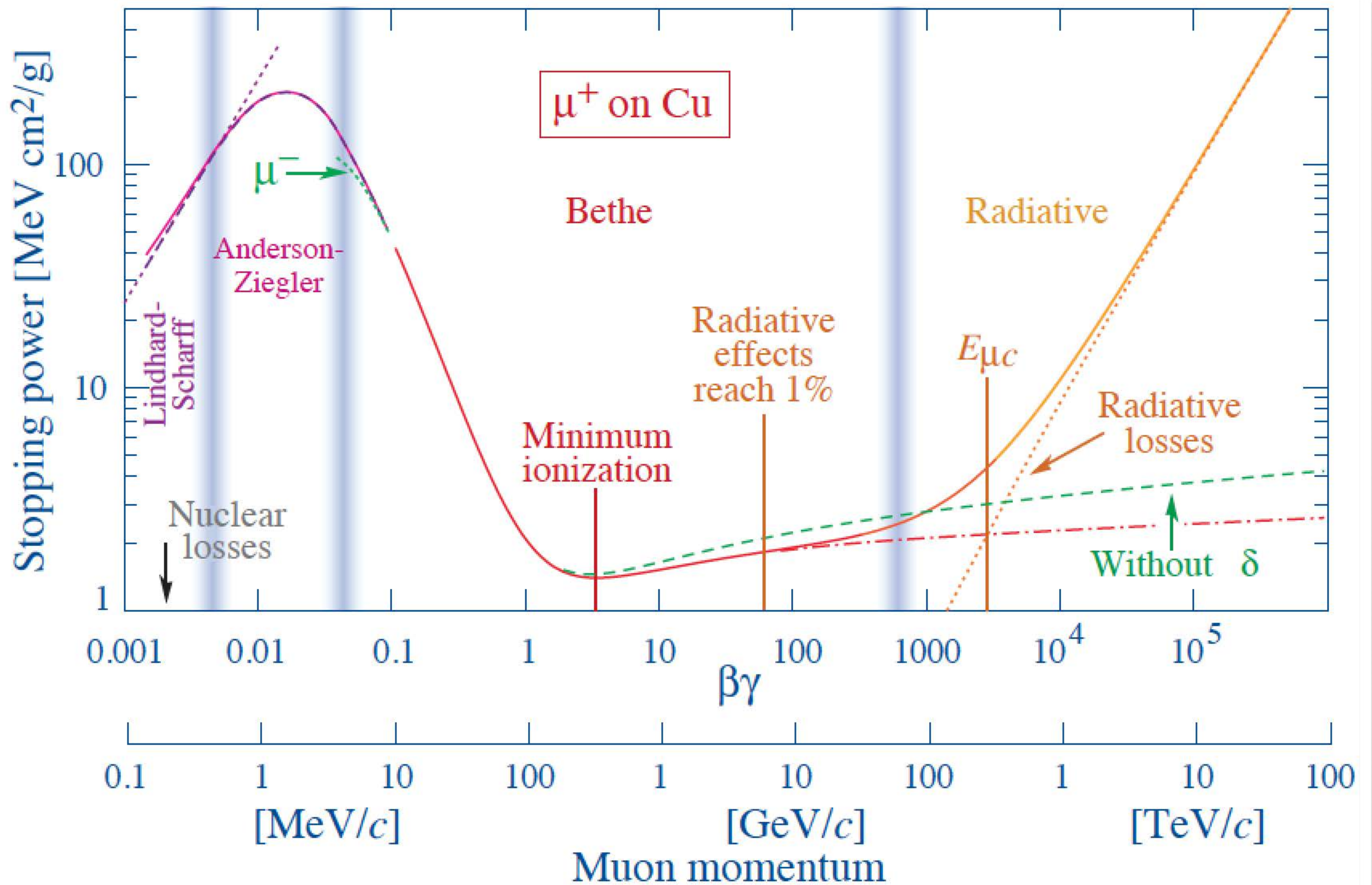
Medindo-se o momento das partículas e a perda de energia, deduz-se a massa da partícula e pode-se fazer a identificação das partículas.

ALICE: Time Projection Chamber (TPC)



ALICE: Time Projection Chamber (TPC)





Perda de energia - partículas de baixa energia

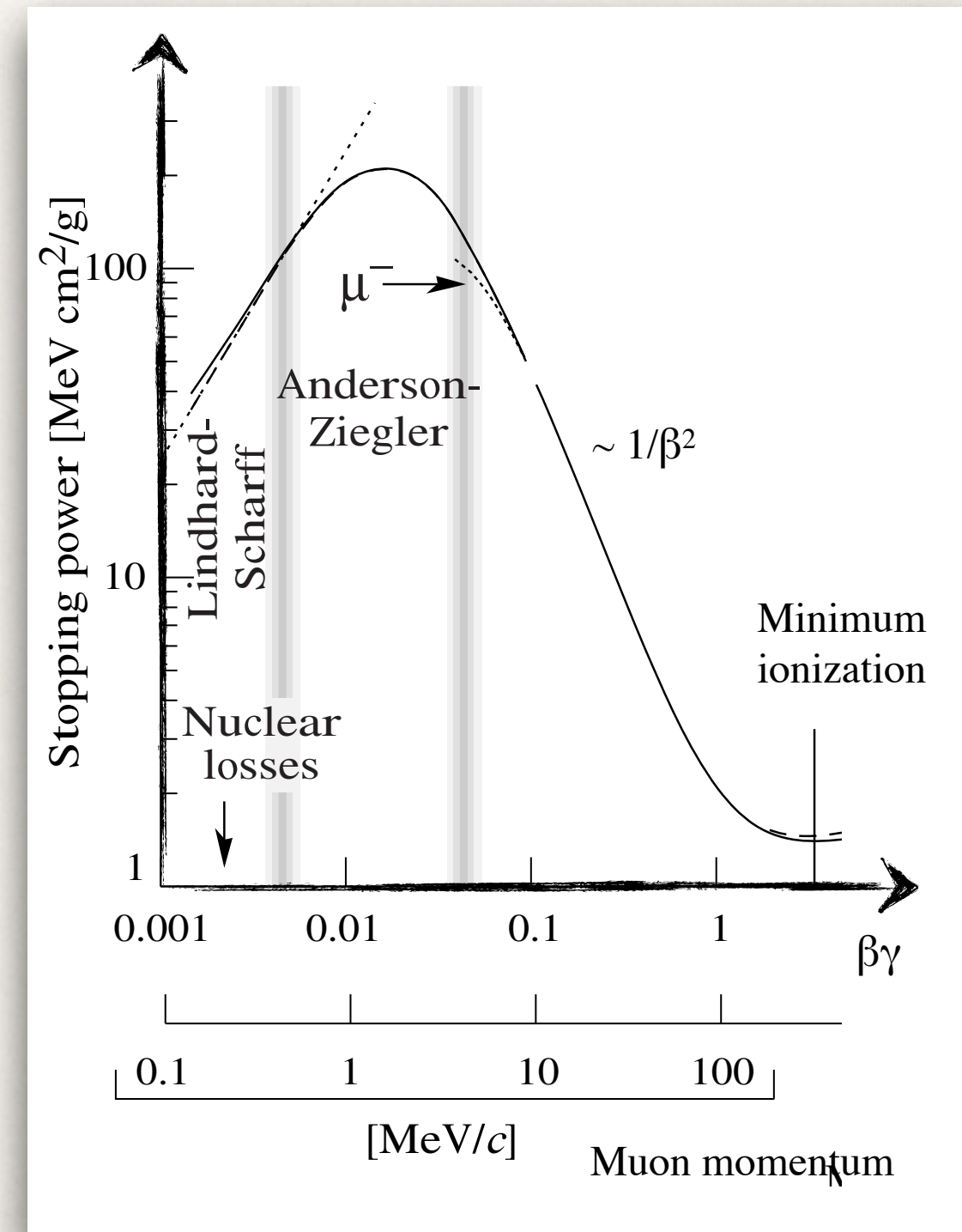
Perda de energia aumenta para baixos valores de $\beta\gamma$ (menores do que MIP)

correção para efeito de camada eletrônica
(correção para ligação atômica)

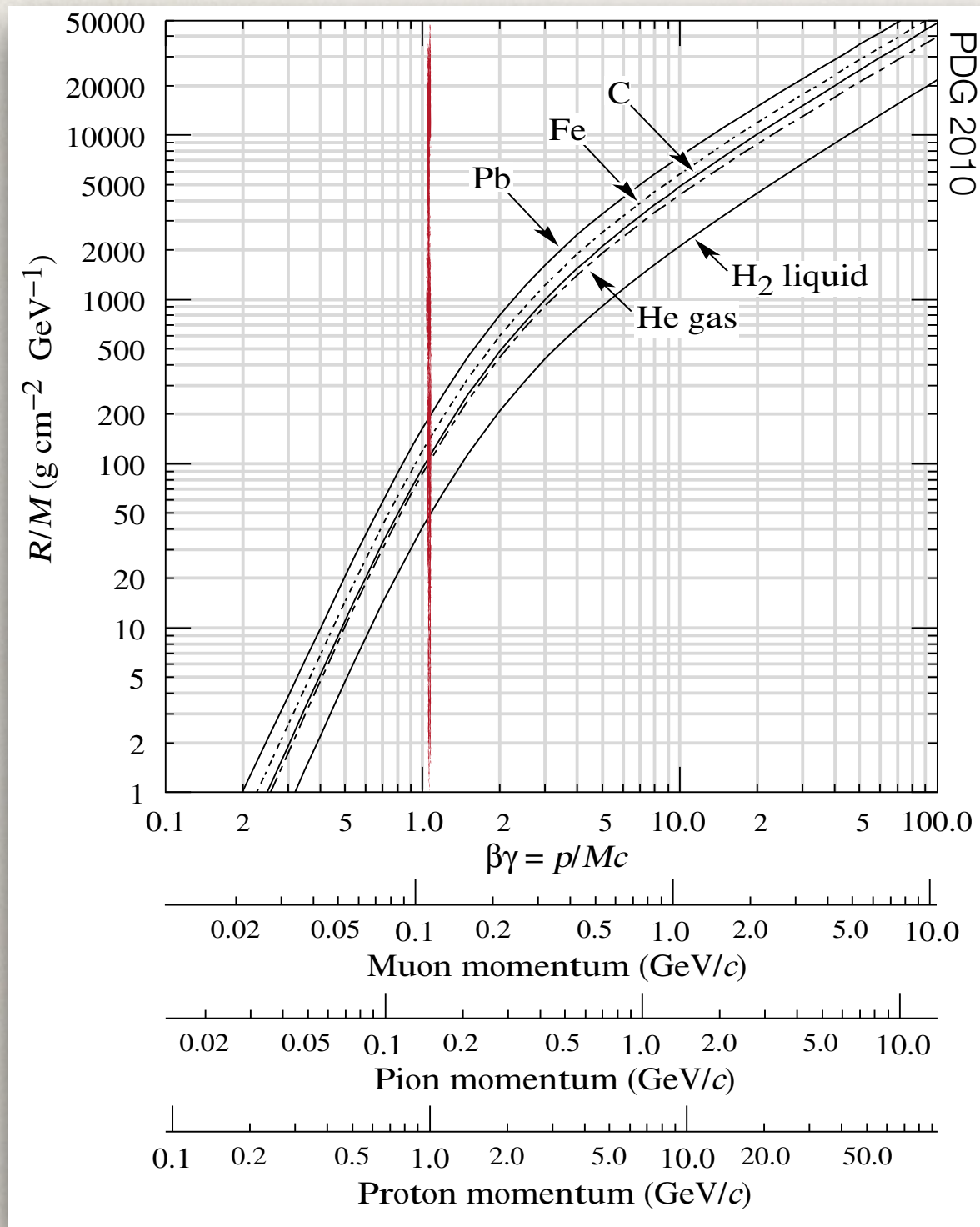
correção para efeito fenomenológico (energias correspondentes a $\beta\gamma < 0.05$)

Correções de Bloch (efeitos de altas ordens)

Correções de Barkas (cargas positivas vs. negativas)



Distância média percorrida pelas partículas



Cálculo da distância média percorrida:

$$R = \int_E^0 \frac{dE}{dE/dx}$$

(integral da energia perdida de E a 0)

exemplo: Próton de $p=1 \text{ GeV}$
alvo de Pb com $\rho = 11,34 \text{ g/cm}^3$
 $R/M = 200 \text{ g cm}^{-2} \text{ GeV}^{-1}$ (do gráfico)
 $R = 200/11,34/1 \text{ cm} \sim 20 \text{ cm}$

Energia depositada

$\beta\gamma > 3.5$:

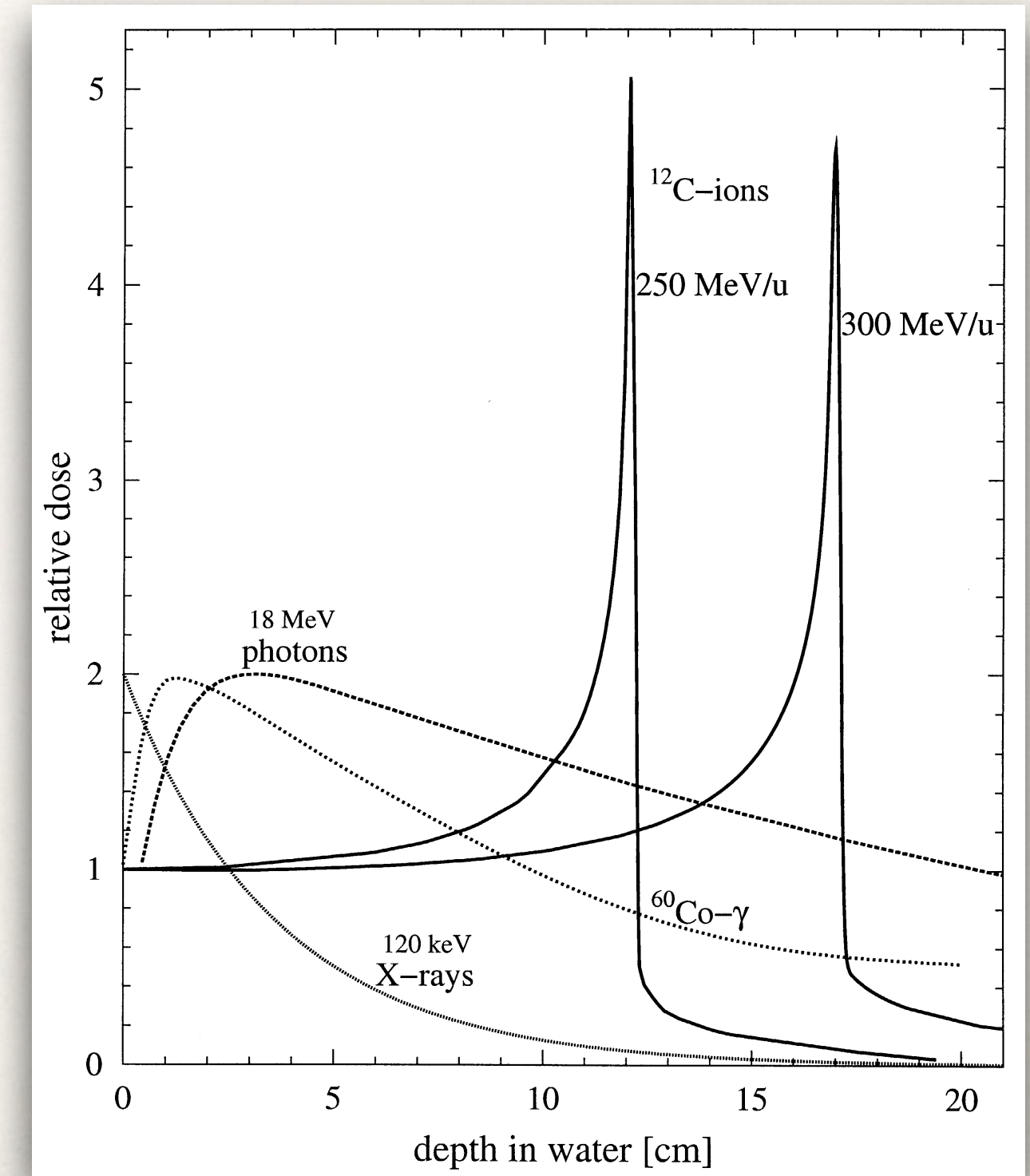
$$\left\langle \frac{dE}{dx} \right\rangle \approx \frac{dE}{dx} \Big|_{\min}$$

$\beta\gamma < 3.5$:

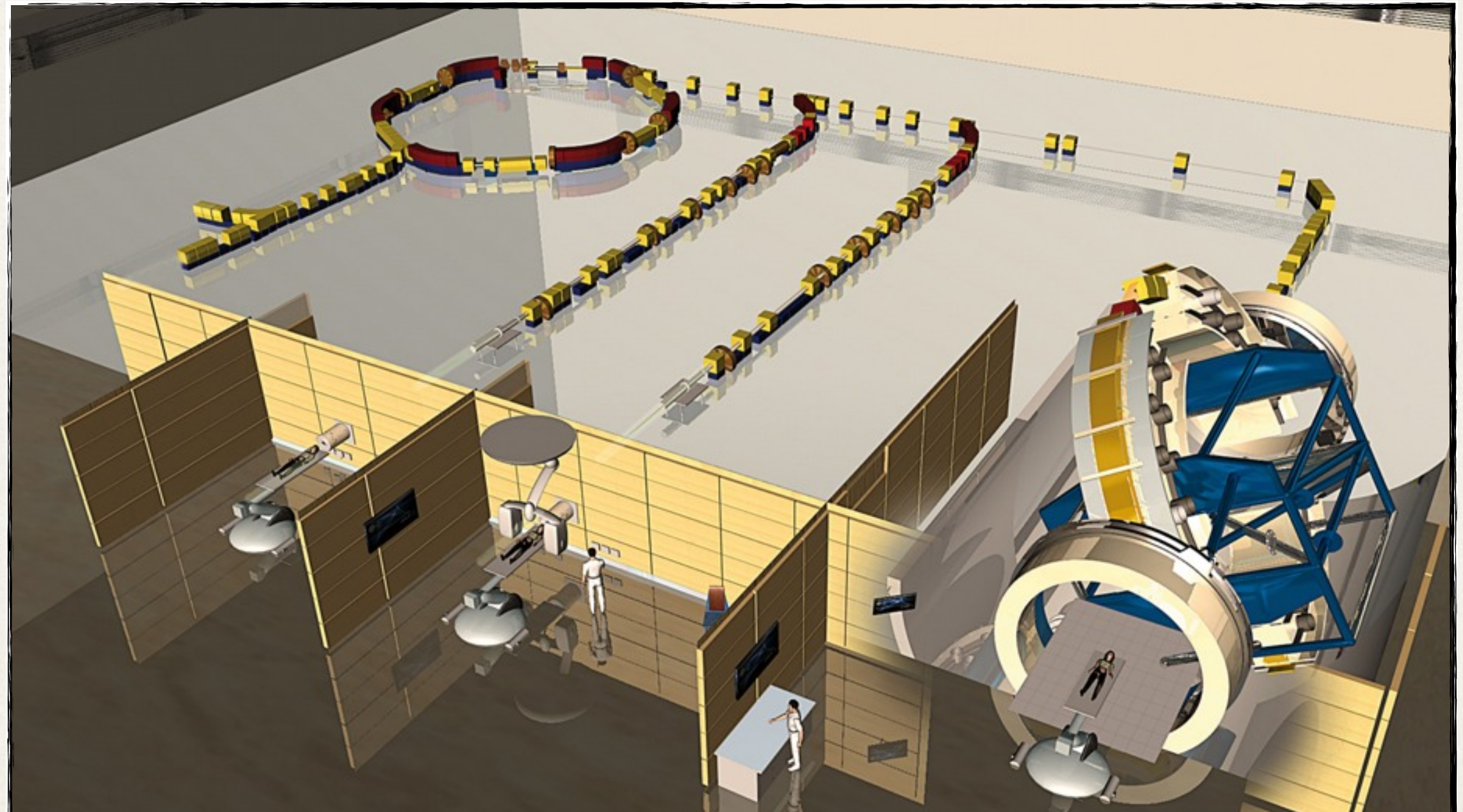
$$\left\langle \frac{dE}{dx} \right\rangle \gg \frac{dE}{dx} \Big|_{\min}$$

Possibilidade de depositar dose em profundidade bem definida em função da E_{beam}

Aplicação em Terapia para tratamento de tumor

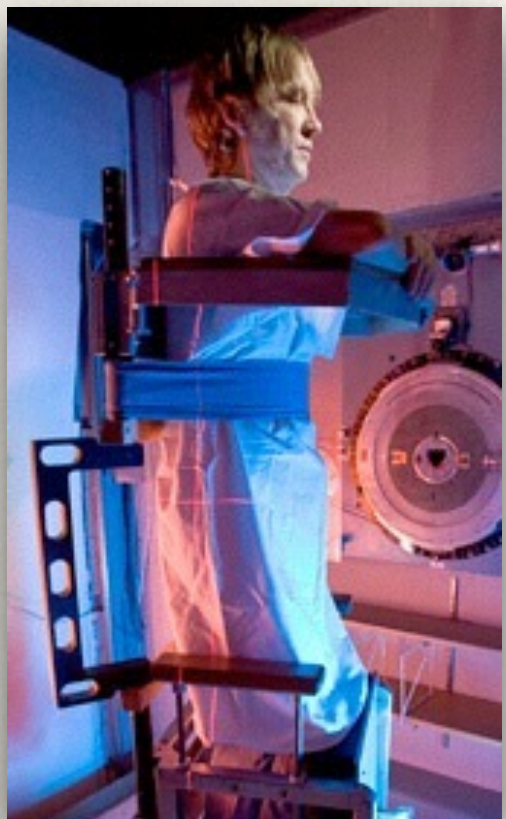


Heidelberg Ion-Beam Therapy Centre (HIT)





Aplicações em Medicina

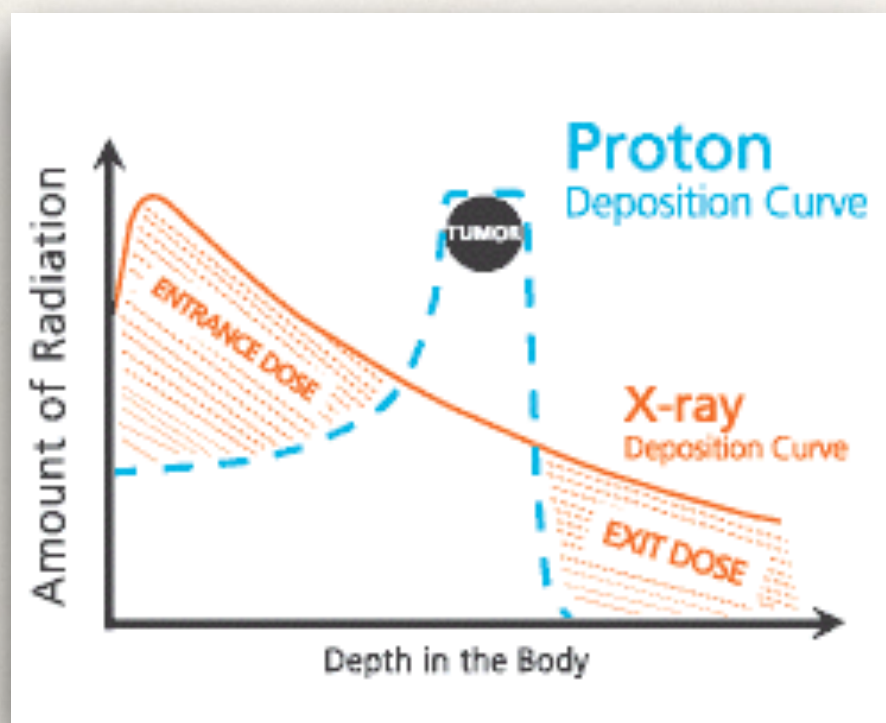
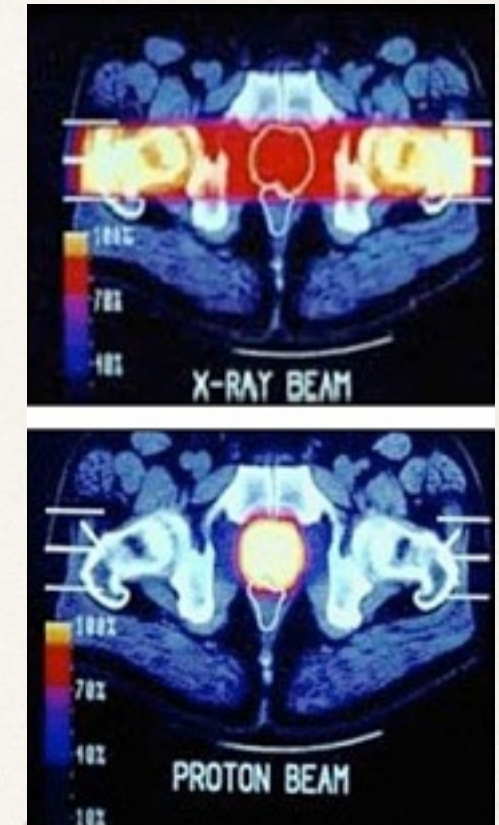


Terapia de tratamento de câncer

Feixes de prótons utilizados em tratamento de câncer.

Milhares de pacientes já foram beneficiados com esses tratamentos (desde 1990).

~ 39 hospitais utilizando essas técnicas.



Feixes prótons permitem maior deposição de energia em tumores em regiões internas com menor efeito nos tecidos ao redor do tumor.

Perda de energia: Elétrons

Equação Bethe-Bloch precisa ser modificada para elétrons.

Elétron incidente e alvo tem a mesma massa m_e

Espalhamento de partículas idênticas, indistinguíveis

$$-\left\langle \frac{dE}{dx} \right\rangle_{\text{el.}} = K \frac{Z}{A} \frac{1}{\beta^2} \left[\ln \frac{m_e \beta^2 c^2 \gamma^2 T}{2I^2} + F(\gamma) \right]$$

[T: kinetic energy of electron]

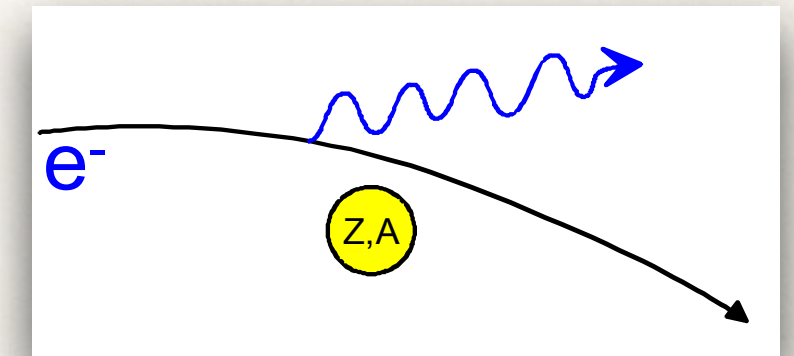
Observação: elétrons e pósitrons de baixa energia possuem perdas de energia diferentes (tratamento diferente)

Perda de energia: Elétrons

Bremsstrahlung

Bremsstrahlung surge quando partículas são aceleradas no campo de Coulomb do núcleo atômico

Processo dominante para $E_e > 10\text{-}30\text{MeV}$



$$\frac{dE}{dx} = 4\alpha N_A \frac{z^2 Z^2}{A} \left(\frac{1}{4\pi\epsilon_0} \frac{e^2}{mc^2} \right)^2 E \ln \frac{183}{Z^{\frac{1}{3}}} \propto \frac{E}{m^2}$$

Perda de energia é proporcional a **1/m²**

(grande relevância para elétrons!)

Perda de energia: Elétrons

Bremsstrahlung

Considere elétrons:

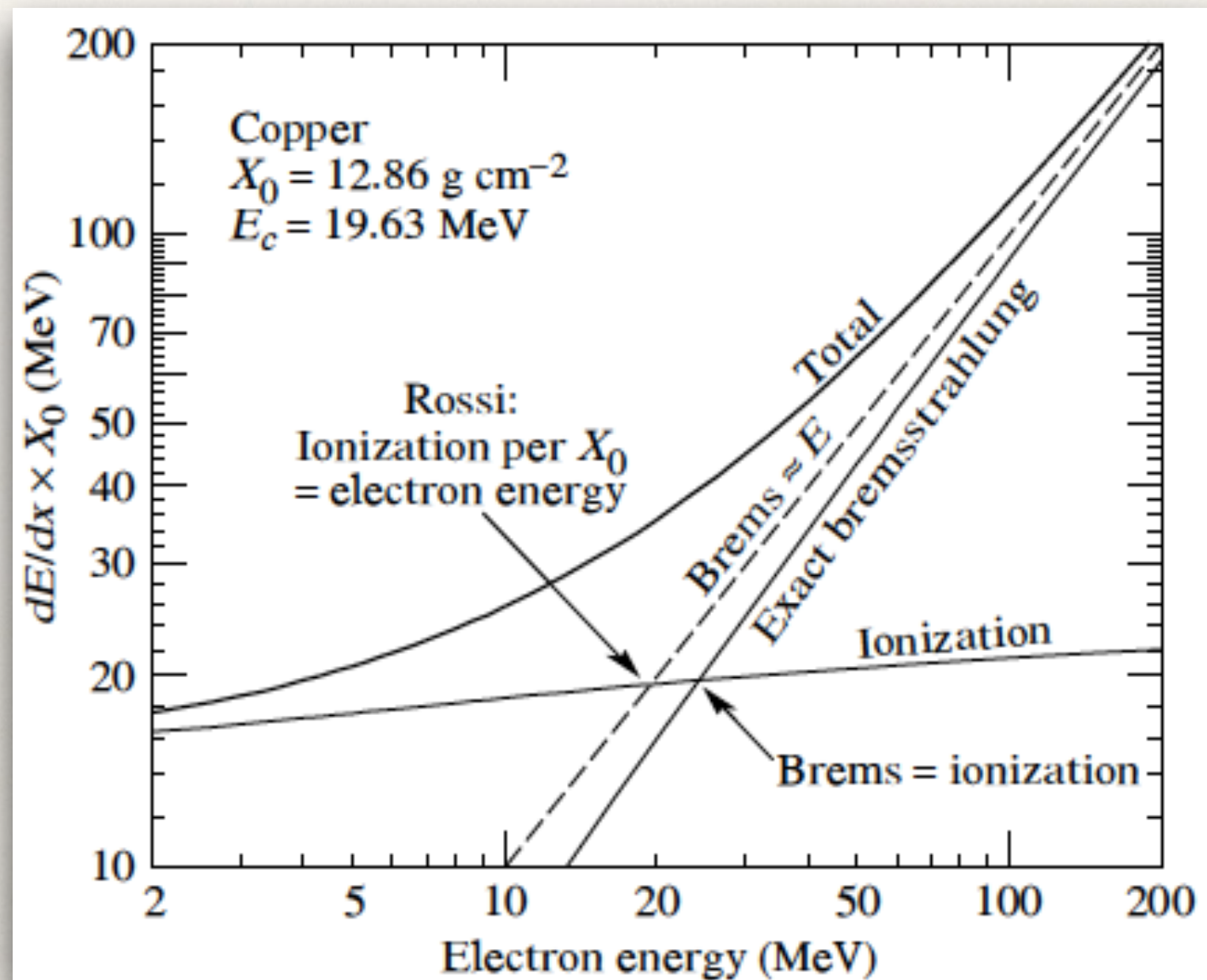
$$\left. \begin{aligned} \frac{dE}{dx} &= 4\alpha N_A \frac{Z^2}{A} r_e^2 \cdot E \ln \frac{183}{Z^{\frac{1}{3}}} \\ \frac{dE}{dx} &= \frac{E}{X_0} \quad \text{with } X_0 = \frac{A}{4\alpha N_A Z^2 r_e^2 \ln \frac{183}{Z^{\frac{1}{3}}}} \end{aligned} \right] \rightarrow E = E_0 e^{-x/X_0}$$

[Radiation length in g/cm²]

Após a passagem de uma unidade X_0 , o elétron estará com uma fração ($1/e$) de sua energia inicial (~63%)

Perda de energia: Elétrons

Bremsstrahlung



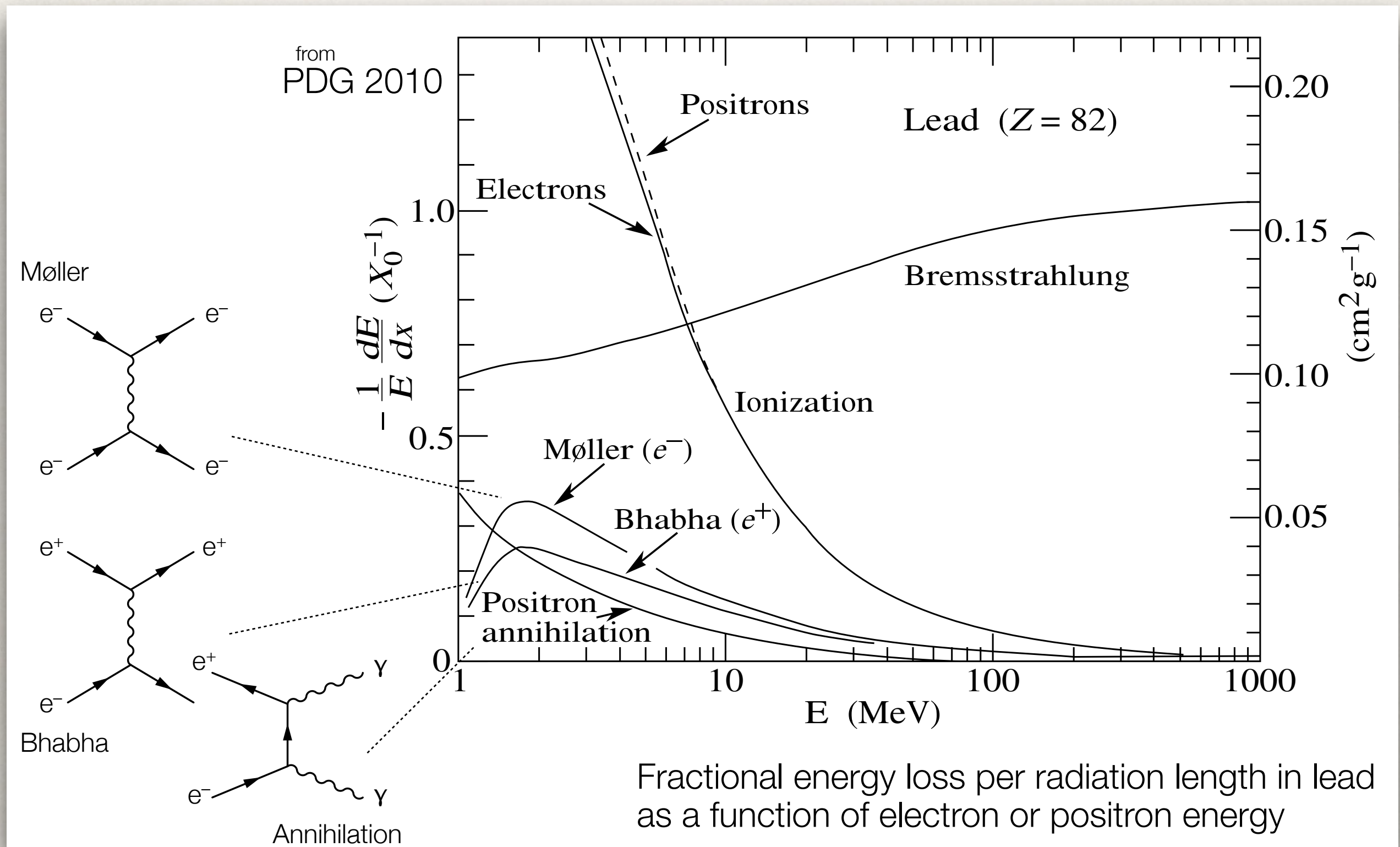
E_c = critical energy

$$\left. \frac{dE}{dx}(E_c) \right|_{\text{Brems}} = \left. \frac{dE}{dx}(E_c) \right|_{\text{Ion}}$$

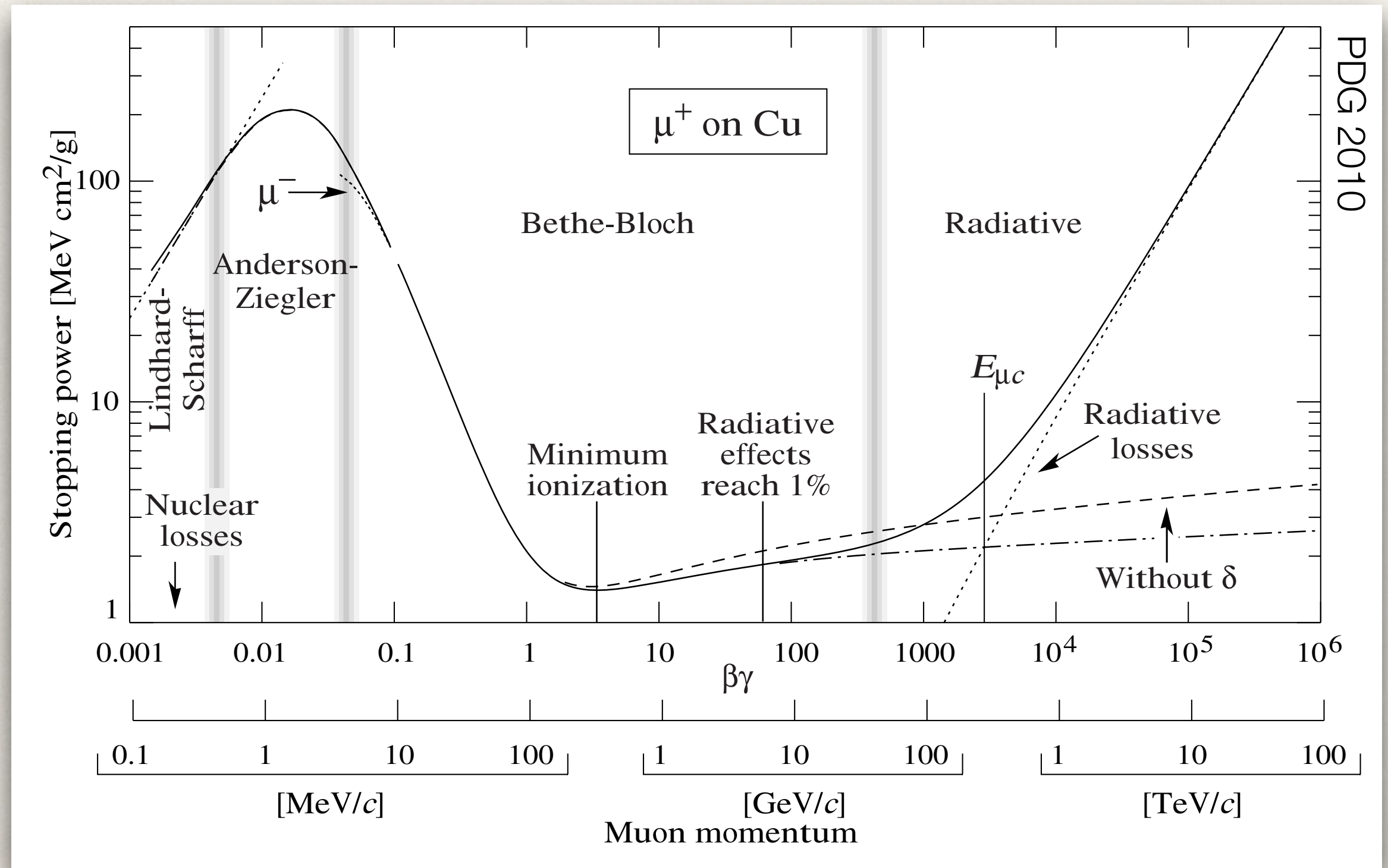
X₀ e E_c para vários materiais

Material	Z	X ₀ (cm)	E _c (MeV)
H ₂ Gas	1	700000	350
He	2	530000	250
Li	3	156	180
C	6	18.8	90
Fe	26	1.76	20.7
Cu	29	1.43	18.8
W	74	0.35	8.0
Pb	82	0.56	7.4
Air	7.3	30000	84
SiO ₂	11.2	12	57
Water	7.5	36	83

Perda de energia: Elétrons



Perda de energia - Gráfico para Múons

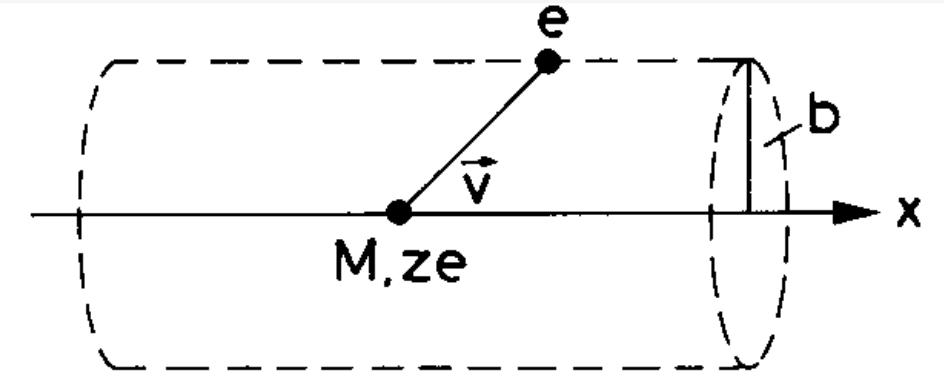


Apêndice

Derivação clássica da equação de Bethe-Bloch

Particle with **charge ze** and **velocity v** moves through a medium with **electron density n** .

Electrons considered free and initially at rest.



Interaction of a heavy charged particle with an electron of an atom inside medium.

Momentum transfer:

$$\Delta p_{\perp} = \int F_{\perp} dt = \int F_{\perp} \frac{dt}{dx} dx = \int F_{\perp} \frac{dx}{v} \quad \text{Symmetry!}$$

$$= \int_{-\infty}^{\infty} \frac{ze^2}{(x^2 + b^2)} \cdot \frac{b}{\sqrt{x^2 + b^2}} \cdot \frac{1}{v} dx = \frac{ze^2 b}{v} \left[\frac{x}{b^2 \sqrt{x^2 + b^2}} \right]_{-\infty}^{\infty} = \frac{2ze^2}{bv}$$

More elegant with Gauss law:
[infinite cylinder; electron in center]

$$\int E_{\perp} (2\pi b) dx = 4\pi(ze) \rightarrow \int E_{\perp} dx = \frac{2ze}{b}$$

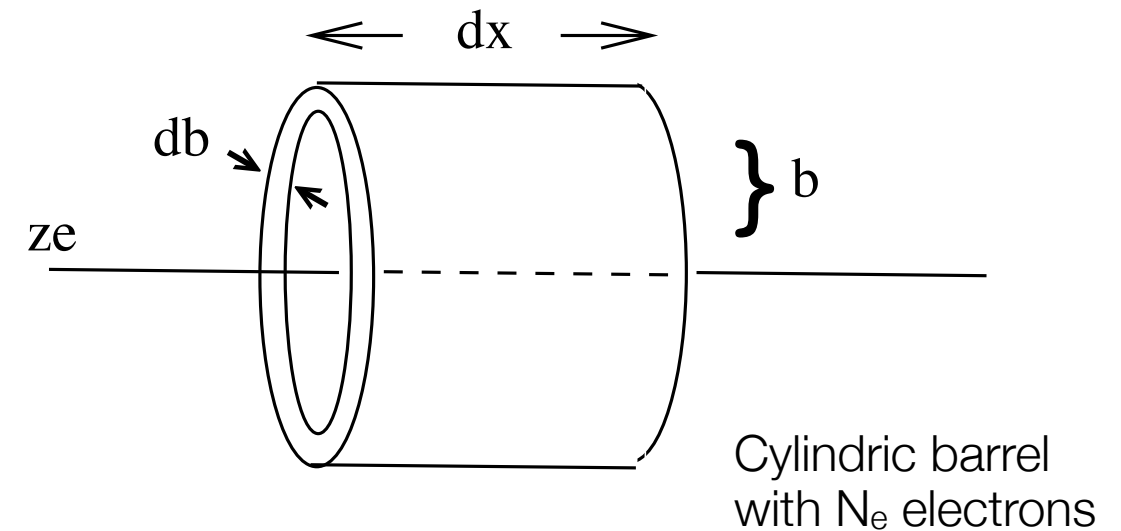
and then ...

$$\begin{cases} F_{\perp} = eE_{\perp} \\ \Delta p_{\perp} = e \int E_{\perp} \frac{dx}{v} = \frac{2ze^2}{bv} \end{cases}$$

Derivação clássica da equação de Bethe-Bloch

Energy transfer onto **single** electron
for **impact parameter b**:

$$\Delta E(b) = \frac{\Delta p^2}{2m_e}$$



Consider cylindric barrel $\rightarrow N_e = n \cdot (2\pi b) \cdot db dx$

Energy loss **per path length dx** for
distance between b and $b+db$ in medium with **electron density n** :

Energy loss!

$$-dE(b) = \frac{\Delta p^2}{2m_e} \cdot 2\pi nb db dx = \frac{4z^2 e^4}{2b^2 v^2 m_e} \cdot 2\pi nb db dx = \frac{4\pi n z^2 e^4}{m_e v^2} \frac{db}{b} dx$$

Diverges for $b \rightarrow 0$; integration only
for relevant range $[b_{\min}, b_{\max}]$:

Bohr 1913

$$-\frac{dE}{dx} = \frac{4\pi n z^2 e^4}{m_e v^2} \cdot \int_{b_{\min}}^{b_{\max}} \frac{db}{b} = \frac{4\pi n z^2 e^4}{m_e v^2} \ln \frac{b_{\max}}{b_{\min}}$$

Derivação clássica da equação de Bethe-Bloch

Determination of relevant range [b_{\min} , b_{\max}]:

[Arguments: $b_{\min} > \lambda_e$, i.e. de Broglie wavelength; $b_{\max} < \infty$ due to screening ...]

$$b_{\min} = \lambda_e = \frac{h}{p} = \frac{2\pi\hbar}{\gamma m_e v}$$

Use Heisenberg uncertainty principle or
that electron is located within de Broglie wavelength ...

$$b_{\max} = \frac{\gamma v}{\langle \nu_e \rangle}; \quad \left[\gamma = \frac{1}{\sqrt{1 - \beta^2}} \right]$$

Interaction time (b/v) must be much shorter than period
of the electron (γ/v_e) to guarantee relevant energy transfer ...

[adiabatic invariance]

$$-\frac{dE}{dx} = \frac{4\pi z^2 e^4}{m_e c^2 \beta^2} n \cdot \ln \frac{m_e c^2 \beta^2 \gamma^2}{2\pi\hbar \langle \nu_e \rangle}$$

Deviates by factor 2
from QM derivation

Electron density: $n = N_A \cdot \rho \cdot Z/A !!$
Effective Ionization potential: $I \sim h \langle \nu_e \rangle$